

СССР  
МИНИСТЕРСТВО ТРАНСПОРТНОГО СТРОИТЕЛЬСТВА

ВСЕСОЮЗНЫЙ ОРДЕНА ОКТЯБРЬСКОЙ РЕВОЛЮЦИИ  
НАУЧНО-ИССЛЕДОВАТЕЛЬСКИЙ ИНСТИТУТ  
ТРАНСПОРТНОГО СТРОИТЕЛЬСТВА

УТВЕРЖДАЮ  
Зам. директора института  
Г. Д. ХАСХАЧИХ  
12 ноября 1987 г.

РУКОВОДСТВО  
ПО АВТОМАТИЗИРОВАННОМУ РАСЧЕТУ ОБДЕЛОК  
ПОДЗЕМНЫХ ТРАНСПОРТНЫХ СООРУЖЕНИЙ

Одобрено Главтранспроектом

Москва 1987

УДК 624.191.8.04:II.56

Научный редактор канд.техн.наук В.А.Гарбер



Воененный орденом Октябрьской Революции  
научно-исследовательский институт  
транспортного строительства, 1987

## ПРЕДИСЛОВИЕ

Руководство разработано в развитие глав СНиП II-40-80, ч. II. "Нормы проектирования. Метрополитены" и СНиП II-44-78, ч. II "Нормы проектирования. Тоннели железнодорожные и автодорожные".

В Руководстве рассмотрены вопросы классификации методик расчета подземных конструкций на основе заложенных в них предпосылок, классификации подземных сооружений по условиям их работы, сравнения расчетов подземных конструкций по различным методикам и программам. Даны рекомендации по применению конкретного программного обеспечения ЭВМ для статического и динамического расчетов конкретных видов подземных транспортных сооружений.

Работа выполнена на основе сравнительных расчетов всей номенклатуры постоянных подземных конструкций транспортных сооружений по всем существующим в СССР методикам и программам для ЭВМ, а также на основе анализа результатов многочисленных экспериментальных стендовых и натурных исследований тоннельных конструкций.

Руководство разработано канд.техн.наук В.А.Гарбером, инженерами Ю.П.Лысенко (ЦНИИС), В.И.Гульбе (Метрогипротранс), канд.техн.наук А.А.Лянда (Ленметрогипротранс) при участии канд.физ.-мат.наук С.Ю.Хазанова, инженеров М.Б.Евдокимовой, Л.А.Муриной, Г.Б.Медведевой (ЦНИИС).

Руководство предназначено для проектировщиков транспортных тоннелей и метрополитенов при расчетах несущих конструкций.

Предложения и замечания просим направлять по адресу:  
129329, Москва, ул. Колыская, д.1, ЦНИИС.

Зав.отделением тоннелей  
и метрополитенов

В.Е.Меркин

## I. ОБЩИЕ ПОЛОЖЕНИЯ

I.1. Настоящее Руководство составлено в развитие СНиП II-40-80, ч.II "Нормы проектирования. Метрополитены" (пп. 5.56-5.59, 5.61, 5.63) и СНиП II-44-78, ч.II "Нормы проектирования . Тоннели железно-дорожные и автодорожные"(пп. 5.24, 5.30, 5.34, 5.35) и предназначено для использования при выборе конкретных методик и программ для ЭВМ при статических и динамических расчетах постоянных кесущих конструкций транспортных тоннелей и метрополитенов. Рассмотрены существующие в практике проектирования подземных конструкций расчетные методики и программы, области их применения в конкретных горно-геологических условиях и видах сооружений.

Применение Руководства должно способствовать обоснованному выбору метода расчета подземных конструкций, наиболее соответствующему условиям их работы и обеспечивающему надежные данные для проверки прочностных и деформативных характеристик этих конструкций.

I.2. В качестве источников для разработки Руководства использованы результаты сравнительных расчетов всей номенклатуры постоянных подземных конструкций транспортных сооружений по всем существующим в СССР методикам и программам для ЭВМ, которые были собраны на вычислительном центре ЦНИИСа. Использованы также результаты анализа методик расчета на основе заложенных в них предпосылок, результаты анализа подземных сооружений по условиям их работы и результаты многочисленных экспериментальных стендовых и натурных исследований по измерению напряженно-деформированного состояния конструкций тоннелей и метрополитенов, проводимых сотрудниками ЦНИИСа.

I.3. Развивая отдельные положения указанных выше документов (разд. I, п. I.1), настоящее Руководство определяет классификацию методик расчета подземных конструкций на основе заложенных в них предпосылок (разд.2) и классификацию подземных сооружений по условиям их работы (разд.3). В Руководстве приведены результаты сравнительных расчетов подземных конструкций по различным программам (разд. 4) и даны рекомендации по применению конкретного программного обеспечения ЭВМ для статического и динамического расчета конкретных видов подземных транспортных сооружений (разд. 5).

1.4. Настоящее Руководство содержит систему исходных данных для программ по методикам ЦНИИСа.

## 2. КЛАССИФИКАЦИЯ МЕТОДИК РАСЧЕТА НА ОСНОВЕ ЗАЛОГЕННЫХ В НИХ ПРЕДПОСЫЛКОК

2.1. Все методики прочностного расчета подземных конструкций и соответствующие программы для ЭВМ делятся на три группы, реализующие:

общие методы строительной механики;

методы механики сплошных сред;

инженерные методы, базирующиеся на уравнениях равновесия системы абсолютно жестких блоков и на дифференциальных уравнениях, отражающих свойства вмещающей среды.

2.2. По программам первой группы теоретически возможно рассчитывать все виды подземных конструкций глубокого и мелкого заложения как в упругой, так и в нелинейной стадиях работы системы "порода-обделка".

2.3. По программам второй группы теоретически возможно рассчитывать только замкнутые односвязные подземные конструкции глубокого заложения круговой или эллиптической формы, имеющие постоянную жесткость по всему контуру конструкции. При этом можно производить расчет конструкций, находящихся только в однородном изотропном горном массиве. Расчет может осуществляться только в упругой стадии работы системы "порода-обделка".

2.4. По программам третьей группы теоретически можно рассчитывать только односводчатые сборные многошарнирные подземные конструкции глубокого заложения как замкнутые, так и разомкнутые. Расчет проводится в упругой стадии работы конструкции с учетом реологических свойств породного массива.

2.5. Известны следующие программы, относящиеся к первой группе:

"SRTSEC", реализующая метод перемещений для статического расчета конструкций в упругой стадии (держатель программы - МетроГипротранс);

"РК-6", являющаяся модификацией программы "SRTSEC" в час-

ти ввода исходных данных, решения системы уравнений и адаптации на СМ ЭВМ (держатель программы - Ленметрогипротранс);

"TIGG2", реализующая метод сил для статического расчета конструкций в упругой стадии (держатель программы ЦНИИС);

"TIGNL", реализующая метод линеаризации при пошаговом нагружении для статического расчета конструкций в нелинейной стадии работы системы "порода-обделка" (держатель программы ЦНИИС);

"СПРИНТ", реализующая метод конечных элементов для расчета плоских и пространственных конструкций (держатель программы - МИИТ);

"ЛИРА", реализующая метод конечных элементов для расчета плоских и пространственных конструкций (держатель программы - Киевский НИИАСС Госстроя УССР).

2.6. Программы "СПРИНТ" и "ЛИРА" не имеют блоков, реализующих работу односторонних связей подземных конструкций с породным массивом. Эти программы целесообразно использовать для моделирования напряженного состояния сложных плоских и пространственных конструкций (торцевые камеры, пересадочные узлы и т.п.).

2.7. Известны следующие программы, относящиеся ко второй группе и реализующие:

"РК-1" - решение плоской задачи теории упругости однородной изотропной среды для плоскости с круговым или эллиптическим вырезом, подкрепленным кольцом постоянной толщины (держатель программы - Ленметрогипротранс);

"РК-2" - решение плоской задачи теории упругости однородной изотропной среды для плоскости с круговым вырезом, подкрепленным многослойным кольцом постоянной толщины (держатель программы - Ленметрогипротранс);

"METRO" - решение плоской задачи теории упругости однородной изотропной среды для плоскости с круговым вырезом, подкрепленным однослойным кольцом, жесткость которого может меняться во времени (держатель программы - КАДИ).

2.8. Программа "РК-1" теоретически предназначена для расчета замкнутых монолитных круговых и эллипсообразных обделок, вытянутых вертикально, на статические нагрузки и сейсмические воздействия.

2.9. Программа "РК-2" теоретически предназначена для расчета кольцевых многослойных монолитных и комбинированных обделок на статические нагрузки и сейсмические воздействия.

2.10. Программа "METRO" предназначена для статического расчета монолитно-прессованной обделки с учетом технологических стадий твердения бетона.

2.11. Известны следующие программы, относящиеся к третьей группе и реализующие:

"РК-3" – метод Антонова-Айвазова для расчета односводчатых сборных многошарнирных станций метрополитена глубокого заложения с массивными круговыми опорами верхнего свода (должатель программы – Ленметрогипротранс);

"САТ" – метод Антонова-Айвазова для расчета односводчатых сборных многошарнирных станций метрополитена глубокого заложения коробового очертания (должатель программы – ЦНИИС);

"STATION" – метод Антонова-Айвазова для расчета односводчатых сборных многошарнирных станций метрополитена глубокого заложения с массивными опорами произвольного очертания: штольневыми и круговыми (должатель программы – КАДИ).

2.12. Программа "STATION" не прошла апробации в практике проектирования и является экспериментальной.

2.13. Помимо перечисленных в пп. 2.5, 2.7 и 2.11 программ прочностного расчета подземных конструкций известна программа "СВК" (должатель программы – МетроГипроТранс), предназначенная для расчета сечений железобетонных элементов по предельным состояниям I и 2 групп: проверки на прочность и подбора арматуры (для СМ ЭВМ аналог программы РК-7 выполнен и поддерживается Ленметрогипротрансом).

### 3. КЛАССИФИКАЦИЯ ПОДЗЕМНЫХ СООРУЖЕНИЙ ПО УСЛОВИЯМ ИХ РАБОТЫ

3.1. По условиям работы с позиций прочностного расчета конструкции подземных сооружений делятся на конструкции мелкого заложения и конструкции глубокого заложения.

3.2. К конструкциям мелкого заложения относятся цельносекционная и сборная обделки перегонных тоннелей метрополитенов прямоугольного очертания, колонная станция метрополитена открытого

способа работ, монолитная односводчатая станция метрополитена открытого способа работ. Сюда же относятся конструкции пешеходных переходов и входов на станции метрополитена мелкого заложения.

3.3. Статический и динамический расчеты конструкций мелкого заложения теоретически могут осуществляться только с использованием программ для ЭВМ первой группы (пп. 2.1, 2.2, 2.5).

3.4. Конструкции глубокого заложения с позиций прочностного расчета подразделяются на монолитные конструкции и многошарнирные блочные конструкции.

3.5. Монолитные конструкции глубокого заложения подразделяются на односвязные, многосвязные и разомкнутые.

3.6. К односвязным монолитным конструкциям глубокого заложения относятся обделки кругового очертания, замкнутые подковообразные обделки и монолитные большепролетные односводчатые конструкции типа односводчатой станции.

3.7. Статический и динамический расчеты односвязных монолитных конструкций глубокого заложения теоретически могут осуществляться только с использованием программ для ЭВМ, указанных в пп. 2.5 и 2.7.

3.8. К многосвязным монолитным конструкциям глубокого заложения относятся колонные и пилонные станции метрополитена.

3.9. Статический и динамический расчеты многосвязных конструкций глубокого заложения теоретически могут осуществляться только с использованием программ для ЭВМ, указанных в п. 2.5.

3.10. К разомкнутым монолитным конструкциям глубокого заложения относятся подковообразные обделки горных тоннелей без лотка или обратного свода и односводчатые большепролетные конструкции без лотка или обратного свода.

3.11. Статический и динамический расчеты разомкнутых монолитных конструкций глубокого заложения теоретически могут осуществляться только с использованием программ для ЭВМ, указанных в п. 2.5.

3.12. К многошарнирным блочным конструкциям относятся необжатые и обжатые в породу круговые блочные шарнирные обделки и односводчатые станции метрополитенов глубокого заложения с многошарнирными сводами.

3.13. Статический расчет многошарнирных блочных конструкций теоретически может осуществляться с использованием программ, указанных в пп. 2.5 и 2.11. Однако расчет этих конструкций по прог-

раммам первой группы (см. пп.2.1 и 2.5) практически нецелесообразен при наличии специализированных программ третьей группы (см. пп.2.1 и 2.11).

#### 4. РЕЗУЛЬТАТЫ СРАВНИТЕЛЬНЫХ РАСЧЕТОВ ПОДЗЕМНЫХ КОНСТРУКЦИЙ ПО РАЗЛИЧНЫМ ПРОГРАММАМ

4.1. Сравнительные статические расчеты монолитной кольцевой обделки проводились по программам "РК-6", "TIGC2", "РК-1", "METRO".

Результаты расчетов по программам первой группы ("РК-6" и "TIGC2") в качественном отношении идентичны между собой.

Результаты расчетов по программам второй группы ("РК-1" и "METRO") в качественном отношении идентичны между собой.

Результаты расчетов по программам первой группы в качественном отношении резко отличаются от результатов расчетов по программам второй группы.

Практика строительства и эксплуатации монолитных кольцевых тоннелей подтверждает качественную картину, получаемую при расчетах по программам первой группы ("РК-6" и "TIGC2"): обделка разрушается в первую очередь в верхней части тоннеля, а в лотке трещины наблюдаются редко, что соответствует наличию экстремальных значений изгибающего момента в сводовой части тоннеля.

Результаты расчетов монолитной кольцевой обделки по программам "РК-6" и "TIGC2" имеют следующие количественные различия.

максимальный положительный изгибающий момент 9-10 %;

максимальный отрицательный изгибающий момент до 0,5 %;

максимальное осевое усилие 1-5 %.

4.2. Сравнительные статические расчеты подковообразной обделки замкнутого очертания проводились по программам "РК-6", "TIGC2" и "РК-1".

Результаты расчетов по программам первой группы ("РК-6" и "TIGC2") в качественном отношении идентичны между собой.

Результаты расчета по программам первой группы ("РК-6" и "TIGC2") в качественном отношении принципиально отличаются от результата расчета по программе второй группы ("РК-1").

Практика строительства и эксплуатации горных тоннелей подковообразного очертания подтверждает качественную картину, получаемую при расчете замкнутой подковообразной обделки на преоблада-

ющее вертикальное горное давление по программам первой группы "РК-6" и "TIGG2": обделка разрушается в первую очередь в своде, а не в лотке; в боковых стенах появляются продольные трещины с внутренней стороны тоннеля, а не со стороны породы.

Результаты расчетов замкнутой подковообразной обделки по программам "РК-6" и "TIGG2" имеют следующие количественные различия:

максимальный положительный изгибающий момент в шельге свода 3,4 %;

максимальный положительный изгибающий момент в стене или пяте 2,3 %;

максимальный положительный изгибающий момент в обратном своде 2,2 %;

максимальный отрицательный изгибающий момент 0,7 %;

максимальное осевое усилие 0,2 %.

4.3. Сравнительные статические расчеты разомкнутой подковообразной обделки (без обратного свода) проводились по программам "РК-6" и "TIGG2".

Результаты расчетов разомкнутой подковообразной обделки (без обратного свода) по программам "РК-6" и "TIGG2" практически полностью совпадают как качественно, так и количественно.

4.4. Сравнительные статические расчеты монолитной односводчатой станции метрополитена глубокого заложения проводились по программам "РК-6" и "TIGG2".

Результаты расчетов монолитной односводчатой станции метрополитена глубокого заложения по программам "РК-6" и "TIGG2" полностью совпадают качественно и практически количественно.

4.5. Сравнительные статические расчеты колонной станции метрополитена глубокого заложения проводились по программам "РК-6" и "TIGG2".

Результаты расчетов колонной станции метрополитена глубокого заложения по программам "РК-6" и "TIGG2" имеют следующие качественные сравнительные показатели:

верхний свод среднего тоннеля - полная идентичность;

боковые тоннели - полная идентичность;

обратный свод среднего тоннеля - существенное различие.

Результаты расчетов колонной станции метрополитена глубокого заложения по программам "РК-6" и "TIGG2" имеют следующие

количественные различия:

максимальный положительный изгибающий момент в верхнем своде среднего тоннеля в 2,5 раза;

максимальный отрицательный изгибающий момент в верхнем своде среднего тоннеля 15 %;

положительный изгибающий момент в надколонном узле 2,5 %;

положительный изгибающий момент в своде боковых тоннелей 39 %;

максимальный отрицательный изгибающий момент в своде боковых тоннелей 34 %;

максимальное осевое усилие в верхнем своде среднего тоннеля 5,5 %;

максимальное осевое усилие в боковом тоннеле до 2 %;

осевое усилие в колонне до 1 %;

прогиб шелыги свода среднего тоннеля в 7 раз;

прогиб шелыги свода боковых тоннелей 42 %.

4.6. Сравнительные статические расчеты семиблочной сборной круговой обделки перегонного тоннеля метрополитена проводились по программам "РК-6", " TIGC2 " и " RATON " (КАДИ-ЦНИИС).

Результаты расчетов по программам первой группы ("РК-6" и " TIGC2 ") в качественном отношении идентичны между собой.

Результаты расчетов по программам первой группы ("РК-6" и " TIGC2 ") в качественном отношении принципиально отличаются от результата расчета по программе третьей группы (" RATON ").

Практика строительства и эксплуатации унифицированной круговой семиблочной сборной обделки подтверждает качественную картину, получаемую при расчете этой конструкции по программам первой группы ("РК-6" и " TIGC2 "): разрушение в первую очередь верхних блоков, а не лотка.

Результаты расчетов семиблочной круговой сборной обделки по программам "РК-6" и " TIGC2 " имеют следующие количественные различия:

максимальный изгибающий момент в расчетном блоке № I 1-6 %;

максимальное осевое усилие в кольце 2-4 %;

перемещение шелыги свода 5-6 %.

4.7. Сравнительные статические расчеты цельносекционной обделки перегонного тоннеля метрополитена открытого способа работ проводились по программам "РК-6" и " TIGC2 ".

Результаты расчетов цельносекционной обделки по программам "РК-6" и "TIGG2" полностью совпадают качественно и практически количественно.

4.8. Сравнительные статические расчеты монолитной односводчатой станции метрополитена открытого способа работ проводились по программам "РК-6" и "TIGG2".

Результаты расчетов по программам "РК-6" и "TIGG2" в качественном отношении идентичны между собой.

Результаты расчетов монолитной односводчатой станции метрополитена открытого способа работ по программам "РК-6" и "TIGG2" имеют следующие количественные различия:

максимальный положительный изгибающий момент в своде 42 %;  
отрицательный изгибающий момент в пяте свода 39 %;  
максимальный положительный изгибающий момент в стене до 6 %;  
осевое усилие в шелыге свода 13 %;  
осевое усилие в пяте свода 14 %;  
максимальное осевое усилие в стене до 1 %;  
осевое усилие в лотке до 20 %;  
прогиб шелыги свода до 23 %.

4.9. Сравнительные статические расчеты колонной станции метрополитена открытого способа работ проводились по программам "РК-6" и "TIGG2".

Результаты расчетов по программам "РК-6" и "TIGG2" в качественном отношении идентичны между собой.

Результаты расчетов колонной станции метрополитенов открытого способа работ по программам "РК-6" и "TIGG2" имеют следующие количественные различия:

максимальный положительный изгибающий момент по ригелью среднего зала 3 %;  
максимальный положительный изгибающий момент по ригелью боковых тоннелей до 15 %;  
максимальный отрицательный изгибающий момент над колонной до 4 %;  
максимальный отрицательный изгибающий момент в верхнем вузе до 18 %;  
максимальный положительный изгибающий момент по боковой стене до 26 %;  
максимальный отрицательный изгибающий момент в нижнем вузе до 6 %;

осевое усилие в колонне до 3 %;  
максимальное осевое усилие в ригеле среднего свода до 1,5 %;  
максимальное осевое усилие в ригеле бокового тоннеля 5 %;  
максимальное осевое усилие в боковой стене до 7 %.

## 5. РЕКОМЕНДАЦИИ ПО ПРИМЕНЕНИЮ ПРОГРАММНОГО ОБЕСПЕЧЕНИЯ ДЛЯ РАСЧЕТА ОБДЕЛОК ПОДЗЕМНЫХ ТРАНСПОРТНЫХ СООРУЖЕНИЙ

5.1. Расчет монолитных кольцевых обделок в упругой стадии на статические нагрузки следует производить по одной из следующих программ: "TIGG2" (обязательное приложение), "SRTSEC", "PK-6".

5.2. Расчет монолитных кольцевых обделок глубокого заложения на сейсмические воздействия следует производить по программе "PK-I".

5.3. Расчет монолитных круговых многослойных и комбинированных обделок глубокого заложения на статические нагрузки и сейсмические воздействия следует производить по программе "PK-2".

5.4. Расчет монолитных кольцевых обделок на статические нагрузки в нелинейной стадии следует производить по программе "TIGNL" (см. обязательное приложение).

5.5. Расчет монолитных подковообразных замкнутых обделок в упругой стадии на статические нагрузки следует производить по одной из следующих программ: " SRTSEC ", "PK-6", " TIGG2 ".

5.6. Расчет монолитных подковообразных замкнутых обделок на сейсмические воздействия следует производить по программе "PK-I".

5.7. Расчет монолитных подковообразных замкнутых обделок на статические нагрузки в нелинейной стадии следует производить по программе " TIGNL ".

5.8. Расчет монолитных односводчатых станций метрополитена закрытого способа работ в упругой стадии на статические нагрузки следует производить по одной из следующих программ: " SRTSEC " "PK-6", " TIGG2 ".

5.9. Расчет монолитных односводчатых станций метрополитена закрытого способа работ на сейсмические воздействия следует производить по одной из следующих программ: " SRTSEC' ", "PK-6", " TIGG2 ". При этом расчет должен осуществляться на приведенные статические нагрузки, вычисляемые в соответствии с ВСН I93-81.

5.10. Расчет монолитных односводчатых станций метрополитена закрытого способа работ на статические нагрузки в нелинейной ста-

дии следует производить по программе " TIGNL".

5.II. Расчет монолитных подковообразных разомкнутых (без лотка или без обратного свода) обделок в упругой стадии на статические нагрузки следует производить по одной из следующих программ: " SRTSEC ", "PK-6", " TIGG2 ".

5.I2. Расчет монолитных подковообразных разомкнутых (без лотка или без обратного свода) обделок на сейсмические воздействия следует производить по одной из следующих программ: " SRTSEC ", "PK-6", " TIGG2 ". При этом расчет должен осуществляться на приведенные статические нагрузки, вычисляемые в соответствии с ВСН 193-81.

5.I3. Расчет монолитных подковообразных разомкнутых (без лотка или без обратного свода) обделок на статические нагрузки в нелинейной стадии следует производить по программе " TIGNL ".

5.I4. Расчет колонных станций метрополитена закрытого способа работ в упругой стадии на статические нагрузки следует производить по одной из следующих программ: " SRTSEC ", "PK-6", "TIGG2"

5.I5. Расчет колонных станций метрополитена закрытого способа работ на сейсмические воздействия следует производить по одной из следующих программ: " SRTSEC ", "PK-6", " TIGG2 ". При этом расчет должен осуществляться на приведенные статические нагрузки, вычисляемые в соответствии с ВСН 193-81.

5.I6. Расчет колонных станций метрополитена закрытого способа работ на статические нагрузки в нелинейной стадии следует производить по программе " TIGNL ".

5.I7. Расчет пилонных станций метрополитена в упругой стадии на статические нагрузки следует производить по программе " SRTSEC " или "PK-6".

5.I8. Расчет пилонных станций метрополитена на сейсмические воздействия следует производить по программе " SRTSEC " или "PK-6". При этом расчет должен осуществляться на приведенные статические нагрузки, вычисляемые в соответствии с ВСН 193-81.

5.I9. Расчет сборных (шарнирных) кольцевых обделок в упругой стадии на статические нагрузки следует производить по одной из следующих программ: " SRTSEC ", "PK-6", " TIGG2 ".

5.20. Расчет сборных (шарнирных) кольцевых обделок на сейсмические воздействия следует производить по одной из следующих программ: " SRTSEC ", "PK-6", " TIGG2 ". При этом расчет должен осуществляться на приведенные статические нагрузки, вычисляемые

в соответствии с ВСН I93-81.

5.21. Расчет сборных (шарнирных) кольцевых обделок на статические нагрузки в нелинейной стадии следует производить по программе "TIGNL".

5.22. Расчет цельносекционных и сборных обделок прямоугольного очертания в упругой стадии на статические нагрузки следует производить по одной из следующих программ: "SRTSEC", "РК-6", "TIGG2".

5.23. Расчет цельносекционных и сборных обделок прямоугольного очертания на сейсмические воздействия следует производить по одной из следующих программ: "SRTSEC", "РК-6", "TIGG2". При этом расчет должен осуществляться на приведенные статические нагрузки, вычисляемые в соответствии с ВСН I93-81.

5.24. Расчет цельносекционных и сборных обделок прямоугольного очертания на статические нагрузки в нелинейной стадии следует производить по программе "TIGNL".

5.25. Расчет монолитных односводчатых и колонных станций метрополитена открытого способа работ в упругой стадии на статические нагрузки следует производить по одной из следующих программ: "SRTSEC", "РК-6", "TIGG2".

5.26. Расчет монолитных односводчатых и колонных станций метрополитена открытого способа работ на сейсмические воздействия должен осуществляться по одной из следующих программ: "SRTSEC", "РК-6", "TIGG2". При этом расчет должен осуществляться на приведенные статические нагрузки, вычисляемые в соответствии с ВСН I93-81.

5.27. Расчет монолитных односводчатых и колонных станций метрополитена открытого способа работ на статические нагрузки в нелинейной стадии должен осуществляться по программе "TIGNL".

5.28. Расчет односводчатых сборных многошарнирных станций метрополитена глубокого заложения следует производить по программам "РК-3" и "CAT" в соответствии с типом опорных частей верхнего свода.

5.29. Расчет сечений железобетонных элементов (проверка на прочность и подбор арматуры) следует производить по программе "РК-7".

**Приложение  
Обязательное**

**ПРИМЕНЕНИЕ МЕТОДА ЦНИИС ДЛЯ РАСЧЕТА  
ПОДЗЕМНЫХ КОНСТРУКЦИЙ НА ЕС ЭВМ**

## I. ОСНОВНЫЕ ПОЛОЖЕНИЯ

Настоящее обязательное приложение посвящено статическому расчету подземных конструкций тоннелей и метрополитенов на ЕС ЭВМ в упругой стадии, а также с учетом нелинейности работы системы "порода-обделка".

За основу обязательного приложения приняты разработанные в отделении "Тоннели и метрополитены" в 1973-1983 гг. методики расчета подземных конструкций произвольного очертания на воздействие произвольно заданного загружения.

В обязательном приложении отражены 2 методики расчета:

расчет в упругой стадии работы системы "порода-обделка";

расчет конструкций с учетом следующих видов нелинейности системы "порода-обделка":

нелинейность работы материала обделки - учет истинных физико-механических свойств материалов, из которых возводится собственно конструкция;

нелинейность работы вмещающего породного массива - учет истинной зависимости коэффициента упругого отпора породы от величины контактного давления между обделкой и породой;

геометрическая нелинейность расчетной схемы - учет общих деформаций конструкции на каждом этапе загружения (расчет по деформированной схеме);

конструктивная нелинейность расчетной схемы - учет изменения физико-механических характеристик расчетных сечений конструкций в процессе ее загружения.

Обязательное приложение является инструктивным материалом к программам расчета, написанным на стандартной версии языка "ФОРТРАН 4".

Расчетная схема подземной конструкции с многосвязным (в общем случае) поперечным сечением (рис. I) включает в себя следующие элементы:

массив грунта с выработкой;

собственно несущую подземную конструкцию с внутренними связями (или без них);

контактный слой между несущей конструкцией и контуром выработки.

Методика расчета подземной конструкции в упругой стадии предусматривает определение:

- а) внутренних усилий в стержневой системе, которой моделируется несущая подземная конструкция;
- б) усилий в стержневых опорных элементах: нормальных и тангенциальных к контуру конструкции, которыми моделируется контактный слой;
- в) продольных (осевых) и изгибных (угловых) деформаций стержневой системы, моделирующей несущую конструкцию;
- г) продольных деформаций нормальных и тангенциальных опорных стержневых элементов, моделирующих контактный слой. Эти деформации определяют общие перемещения основного контура конструкции;
- д) осевых усилий во внутренних связях.

Перечисленные компоненты напряженно-деформированного состояния подземной конструкции являются результатом воздействия силовых факторов, возникающих при взаимодействии подземной конструкции с грунтовым массивом. Эти силовые факторы могут определяться различными методами:

- а) натурными измерениями;
- б) решением контакт-

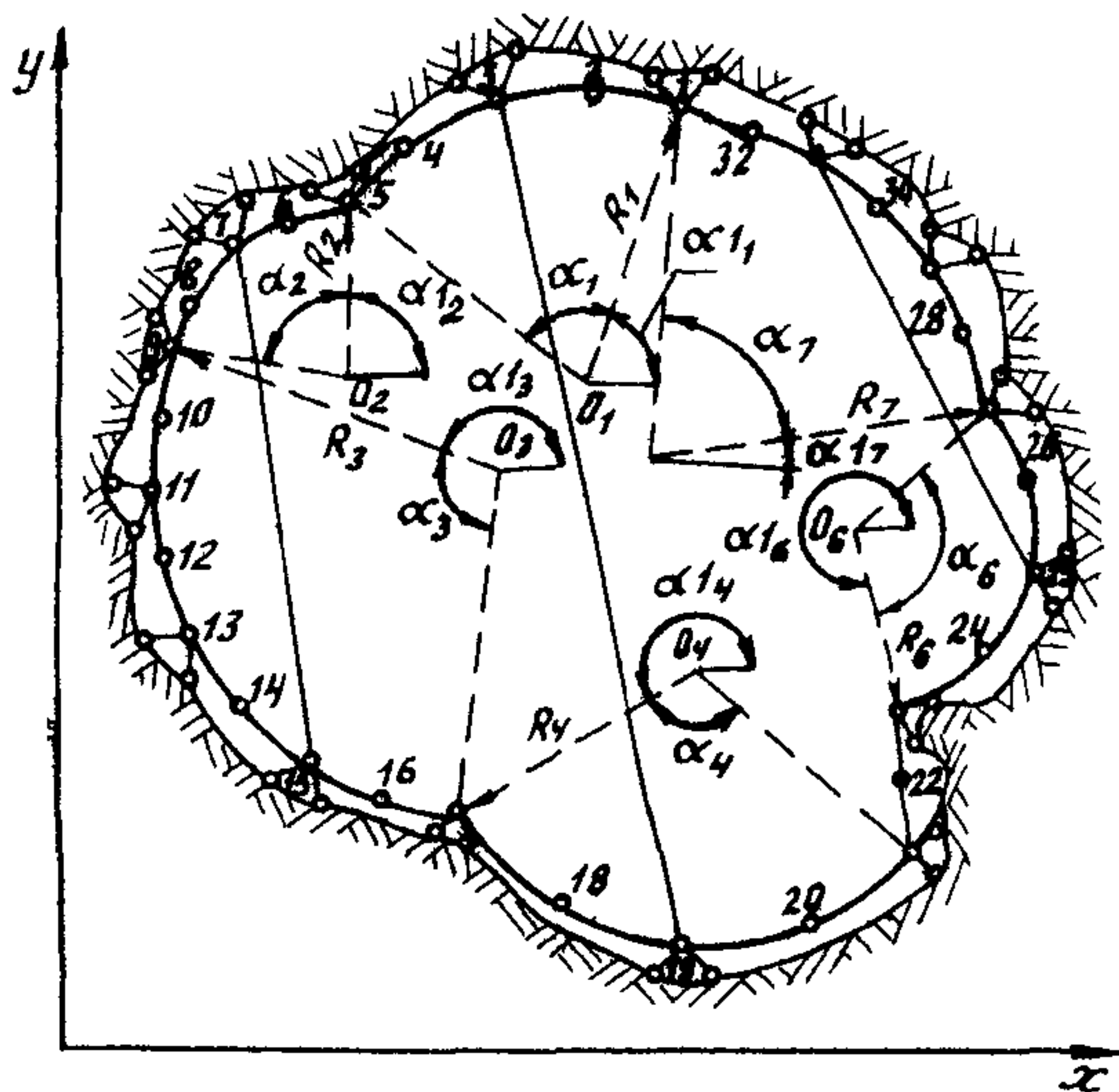


Рис. I. Расчетная схема подземного сооружения

- ной задачи механики сплошных сред;
- в) применением различных теорий горного давления;
- г) применением нормативных документов.

Данная методика не включает в себя определения силовых факторов, действующих на конструкцию. Это силовое воздействие считается заданным и может иметь произвольные количественные и качественные характеристики.

В качестве метода решения принят метод сил. Основная система получена из расчетной схемы введением шарниров в представляющих конструкцию точках расчетной оси. Наличие шарниров компенсируется приложением в каждом из них парных внешних взаимно уравновешенных изгибающих моментов.

Специфическая особенность использованного метода решения состоит в том, что опорные стержневые элементы, моделирующие контактный слой, расположены только в нечетных вершинах расчетной схемы. Эта особенность позволила разделить на уровне основной системы решение сложной контактной задачи для произвольного контура на две более простые задачи: о деформациях неподкрепленного выреза в плоскости и о напряженно-деформированном состоянии стержневой системы под действием этих деформаций. Излагаемая методика относится только ко второй задаче.

Расчетная ось конструкции представляет собой совокупность криволинейных и прямолинейных участков, каждый из которых имеет постоянную кривизну. Так, расчетная ось конструкции, схема которой представлена на рис. I, состоит из 7 участков, каждый из них имеет характеристики, указанные в табл. I.

Т а б л и ц а 1

Но- мер учас- тка	Вершины, входящие в учас- ток	Координаты центра кри- визны участ- ка	Радиус кривизны участка	Центральный угол участка	Направляющий угол нормали к контуру участка в его начальной точке
I	От I до 5	$X_{o_1}, Y_{o_1}$	$R_1$	$\alpha_1$	$\alpha_{1_1}$
2	От 5 до 9	$X_{o_2}, Y_{o_2}$	$R_2$	$\alpha_2$	$\alpha_{1_2}$
3	От 9 до 17	$X_{o_3}, Y_{o_3}$	$R_3$	$\alpha_3$	$\alpha_{1_3}$
4	От 17 до 21	$X_{o_4}, Y_{o_4}$	$R_4$	$\alpha_4$	$\alpha_{1_4}$
5	От 21 до 23	$X_{2_1}, Y_{2_1}$	0	0	$\alpha_{1_4} + \alpha_4$
6	От 23 до 27	$X_{o_6}; Y_{o_6}$	$R_6$	$\alpha_6$	$\alpha_{1_6}$
7	От 27 до I	$X_{o_7}, Y_{o_7}$	$R_7$	$\alpha_7$	$\alpha_{1_7}$

Направляющие углы нормалей к контуру отсчитываются от положительного направления оси ОХ против часовой стрелки.

Для прямолинейных участков в качестве центра кривизны принимается начальная точка участка. Соответственно радиус кривизны и центральный угол прямолинейного участка принимаются нулевыми, а направляющий угол нормали к контуру равен направляющему углу от-

резка, соединяющего центр кривизны предыдущего участка с начальной точкой прямолинейного участка.

При расчете незамкнутых конструкций участок размыкания моделируется следующим образом: участок фиктивно замыкается прямолинейным отрезком, который имеет по концам нечетные вершины расчетной схемы, а в середине – четную фиктивную вершину; во всех трех вершинах фиктивного участка вводятся шарнирные связи. Таким образом, получается трехшарнирный двухзвенник, который является механизмом и, свободно деформируясь, не передает усилий с одного своего конца на другой, так как на средней (безопорной) его вершине нагрузки нет, потому что эта вершина фиктивная. Поскольку через этот фиктивный участок в конструкции не передается внутренних усилий, то он в статическом смысле эквивалентен разомкнутому участку. Необходимость в введении такого фиктивного участка продиктована требованием стандартизации и однотипности вычислительного процесса.

Физико-механические свойства фиктивного участка должны задаваться произвольными положительными ненулевыми величинами.

Данная методика допускает расчет подземных конструкций при наличии до 15 внутренних связей, не пересекающихся между собой. Предусмотрена работа внутренних связей только на восприятие центрального осевого усилия. Такая работа внутренних связей в натуре должна обеспечиваться конструктивными мероприятиями, например, введением шарниров по концам связи.

Методика предусматривает только такие внутренние связи, которые соединяют нечетные вершины расчетной схемы, находящиеся в зоне активной нагрузки (на рис. I вершины 7,3,31), с нечетными вершинами расчетной схемы, расположенными в зоне пассивного отпора породы (на рис. I вершины 15,19,25).

Внутренние связи моделируются следующим образом:

а) в вершинах расчетной схемы, к которым примыкают внутренние связи в зоне активной нагрузки, жесткость опорных нормальных стержневых элементов назначается равной жесткости соответствующей внутренней связи на осевое воздействие;

б) одновременно направляющий угол этого нормального опорного элемента задается равным направляющему углу внутренней связи;

в) в вершинах расчетной схемы, к которым примыкают соответствующие внутренние связи в зоне пассивного отпора породы, нап-

равляющий угол нормального опорного элемента также задается равным направляющему углу внутренней связи;

г) после этого статическая работа внутренней связи заменяется эквивалентным воздействием опорного элемента в зоне активной нагрузки, непосредственно передающего свое опорное усилие на опорный элемент в зоне пассивного отпора породы.

Получаемое в результате такого расчета конструкции усилие в нормальном опорном элементе, расположенному в месте примыкания внутренней связи в зоне активной нагрузки, равно искомому усилию во внутренней связи, возникающему от воздействия нагрузки на I м тоннеля.

Методика расчета подземной конструкции в нелинейной стадии имеет следующие предпосылки:

все предпосылки расчета подземной конструкции в упругой стадии сохраняются и для нелинейного расчета;

помимо учета нелинейностей системы "порода-обделка", перечисленных в основных положениях, расчет включает в себя анализ конструкции по предельным состояниям и учет наследственности напряженно-деформированного состояния в процессе загружения;

расчету подлежат конструкции монолитные и сборные; в общую модель входит математическая модельстыка элементов сборной конструкции;

могут быть рассчитаны многослойные конструкции из различных материалов;

расчет осуществляется автоматически на ЭВМ до достижения конструкцией одного из предельных состояний;

при расчете на ЭВМ выдается полная количественная и качественная информация о процессе разрушения и структурных изменениях конструкции;

максимальное число вершин расчетной схемы 110;

конструкция может состоять из четырех различных материалов, тип материала может меняться как по контуру конструкции, так и по высоте сечения;

при поэтапном загружении конструкции применяется гипотеза плоских сечений (правомерность такого подхода обоснована в работах А.С.Городецкого);

конструкция описывается совокупностью расчетных сечений, каждое из которых рассматривается состоящим из K слоев;  $K = const$  по контуру конструкции и может назначаться в пределах от 1 до 20

т.е. может быть рассчитана 20-слойная конструкция; все К слоев в одном сечении имеют одинаковую высоту  $h_i$ :

$$\sum_{i=1}^k h_i = h_j,$$

где  $i$  — номер слоя;

$h_j$  — общая высота  $j$ -го сечения.

В каждом сечении слои нумеруются от наружной грани обделки к внутренней и соответственно имеют номера от 1 до K;

в  $j$ -м расчетном сечении каждый  $i$ -й слой рассматривается как условно прямоугольный с шириной  $b_i$ .

При этом в ширине  $b_i$  учитываются только те части слоя расчетного сечения, в котором есть неразрушенный материал, т.е.

$b_i$  не чисто геометрическая характеристика слоя, а физическая (условно-геометрическая);

деформативные свойства материалов, из которых состоит конструкция, характеризуются диаграммами их испытания. Каждая диаграмма "σ - ε" задается в виде двух таблиц: значения напряжений  $\sigma$  ( $\text{тс}/\text{м}^2$ ) и соответствующие значения относительных деформаций  $\varepsilon$ .

Напряжения и деформации сжатия считаются положительными, а компоненты растяжения — отрицательными;

пределными деформативными характеристиками принимаются максимальные по абсолютной величине значения таблицы относительных деформаций  $\varepsilon$ . Слой считается разрушенным при выходе его деформаций за пределы диаграммы "σ - ε" для материала, его составляющего;

осью расчетной схемы конструкции считается геометрическое место центров тяжести ненарушенного материала расчетных сечений. Под этим понимается корректировка положения расчетной оси на каждом этапе загружения в соответствии с изменением высоты ненарушенного материала в сечении и величиной общих деформаций (перемещений) расчетных сечений по нормали и касательной к контуру конструкции;

величина поэтапного приращения нагрузки может быть неравномерной; однако качественный характер загружения, т.е. вид нагрузки, остается постоянным;

поскольку каждый  $i$ -й слой каждого  $j$ -го расчетного сечения характеризуется своей диаграммой "σ - ε", то для каждого

этапа загружения введено понятие "приведенного условного модуля деформации расчетного сечения"  $E_j$

$$E_j = \frac{\sum_{i=1}^k E_i \cdot F_i}{\sum_{i=1}^k F_i},$$

где  $E_i$  - условный модуль деформаций  $i$ -го слоя;

$F_i = \beta_i \cdot h_i$  - площадь  $i$ -го слоя в  $j$ -м сечении, м<sup>2</sup>.

Условным модулем деформации  $i$ -го слоя  $E_i$  названо отношение напряжений  $\sigma$  к деформации  $\varepsilon$  для материала слоя на рассматриваемом этапе загружения.  $E_i$  вычисляется по соответствующей диаграмме " $\sigma - \varepsilon$ " и может быть только положительным не-нулевым числом.

При нелинейном расчете рассматриваются 3 предельные состояния подземных конструкций в соответствии с положениями СНиПов по проектированию автодорожных, железнодорожных тоннелей и метрополитенов. Однако первое предельное состояние сформулировано следующим образом: конструкция достигает предельного состояния по несущей способности (прочности) при разрушении материала какого-либо из ее линейных участков. Линейным участком конструкции считаются какие-либо три последовательных ее расчетных сечения. Разрушение таких трех последовательных сечений адекватно образованию трех соседних шарниров, что ведет к появлению мгновенно изменяющегося участка в расчетной схеме конструкции.

Естественно, что при достижении подземной конструкцией такого состояния дальнейшая эксплуатация ее невозможна по двум причинам:

а) потеря устойчивости одним из участков расчетной схемы неизбежно повлечь за собой недопустимые общие деформации всей расчетной схемы;

б) разрушение материала обделки на линейном участке вызовет проникновение в тоннель породы и грунтовых вод, что недопустимо для подземного сооружения.

Все основные аналитические зависимости, используемые в нелинейной модели работы системы "порода - обделка", приведены в сборнике научных трудов [3].

## 2. АЛГОРИТМ

На рис. 2 приведена блок-схема программы расчета подземных конструкций в упругой (линейной) стадии работы; а на рис. 3 - блок-схема программы нелинейного расчета подземных конструкций.

Из сравнения этих рисунков видно, что линейная модель работы подземной конструкции является составной частью нелинейной модели. Алгоритмы нелинейной и линейной моделей и программы, их реализующие, имеют модульную структуру, включающую в себя функциональные модули и управляющие операторы.

Функциональные модули имеют 5-символьный префикс, начинающийся с символов TIG, и выполняют следующие действия:

- TIG04 - ввод, обработка и оптимизация исходной информации о параметрах первоначального состояния системы "обделка-порода";
- TIG06 - вычисление компонент матриц единичных состояний основной системы метода сил;
- TIG02 - вычисление компонент вектора грузового состояния основной системы метода сил;
- TIG10 - вычисление характеристик жесткости на действие продольной силы и изгибающего момента расчетных сечений конструкции;
- TIG03 - вычисление характеристик жесткости на действие продольной силы и изгибающего момента расчетных сечений конструкции;
- TIG07 - формирование матрицы коэффициентов левой части системы канонических уравнений метода сил и грузового столбца системы;

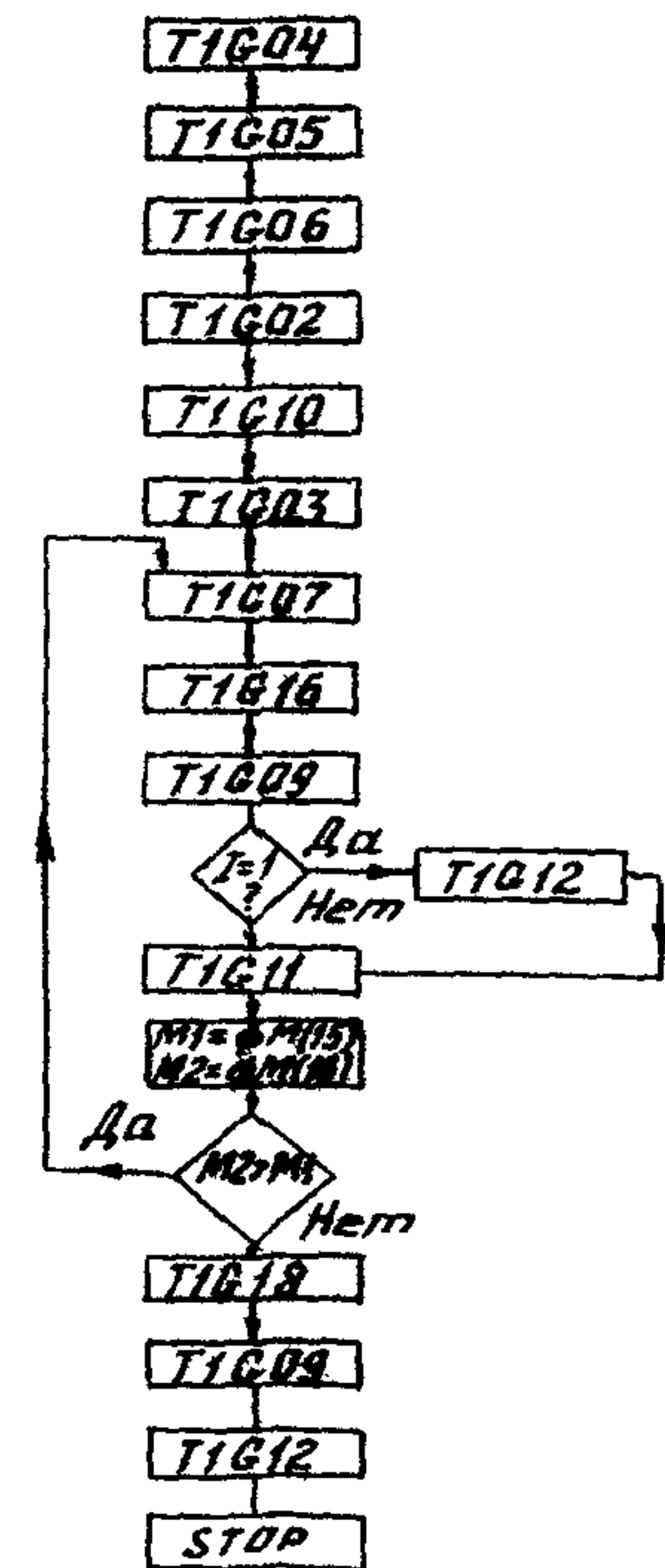
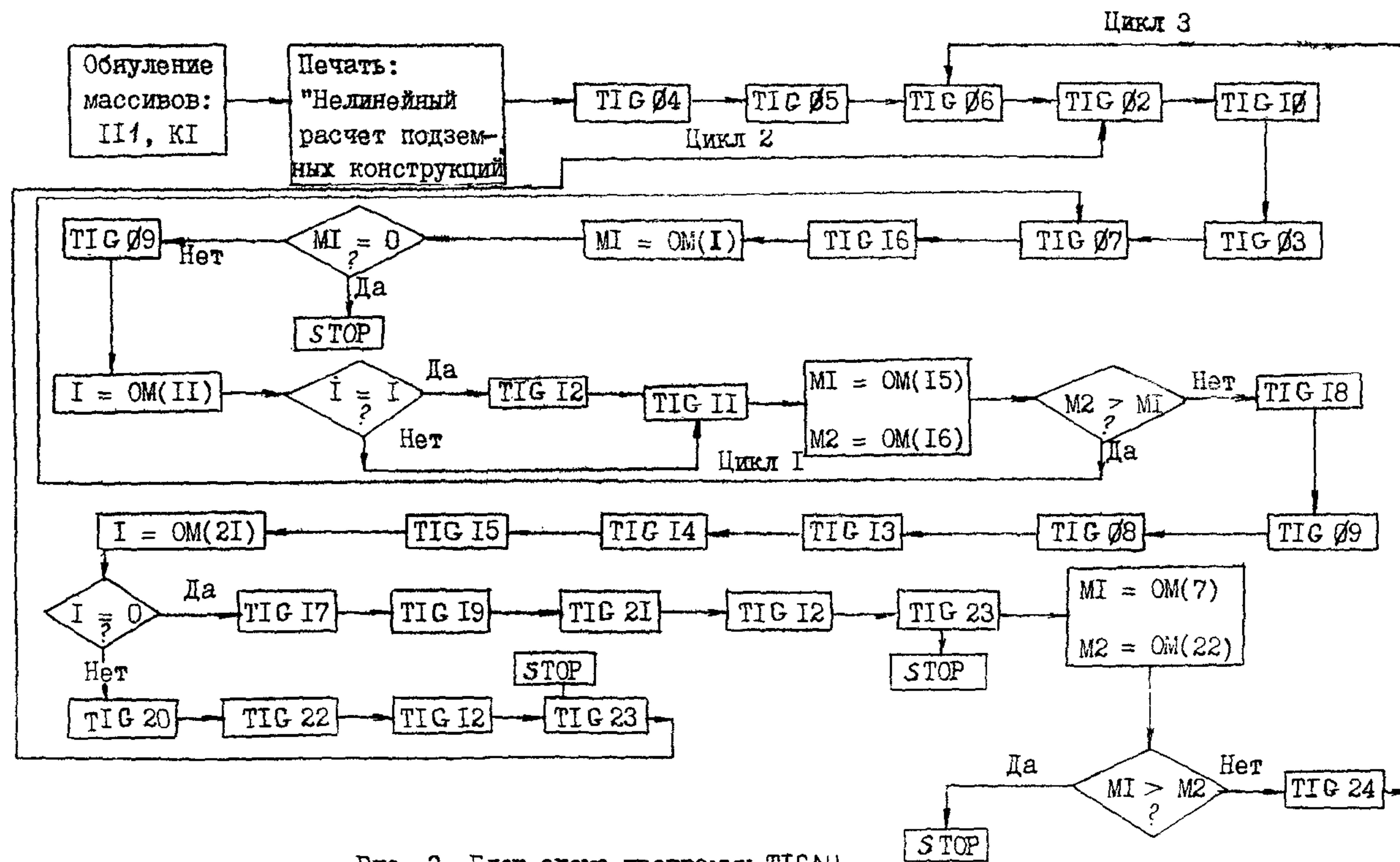


Рис. 2. Блок-схема программы для расчета произвольной конструкции на произвольно заданное загружение в упругой стадии

и грузового столбца системы;



- TIGI6 - решение системы канонических уравнений метода сил;
- TIG09 - вычисление компонент напряженно-деформированного состояния конструкции;
- TIGI2 - печать на АЦПУ таблицы напряженно-деформированного состояния системы "обделка-порода" на очередном этапе загружения;
- TIGII - анализ состояния контактного слоя системы "обделка-порода"; в случае необходимости корректировки "зоны отлипания" проводится корректировка матрицы коэффициентов левой части системы канонических уравнений метода сил и грузового столбца системы;
- TIGI8 - оценка и "разbrasывание" погрешности метода решения системы уравнений;
- TIG08 - ввод, обработка и "запоминание" информации о количестве слоев в расчетных сечениях, о ширине каждого слоя во всех сечениях, о диаграммах " $\sigma - \varepsilon$ ";
- TIGI3 - анализ напряженно-деформированного состояния монолитных (не стыковых) расчетных сечений с целью уточнения жесткостных характеристик, выявления разрушений материала и структурных изменений;
- TIGI4 - анализ напряженно-деформированного состояния стыков сборных конструкций и "пластических шарниров", образовавшихся в результате разрушения материала в монолитных расчетных сечениях;
- TIGI5 - проверка окончания итерационного процесса по уточнению жесткостных характеристик конструкции на очередном этапе ее загружения; вычисление нагрузки следующего этапа в случае завершения итерационного процесса;
- TIGI7 - вычисление новых геометрических характеристик расчетной схемы для перехода к следующему этапу загружения - завершающий этап реализации геометрической нелинейности расчетной схемы;
- TIGI9 - учет наследственности деформированного состояния контактного слоя между обделкой и породой с запоминанием дифференциальных и интегральных компонент этого состояния;
- TIG20 - то же, что и TIGI9, но с запоминанием только дифференциальных компонент деформаций контактного слоя;
- TIG21 - учет наследственности деформированного состояния расчетных сечений и конструкции в целом с запоминанием диффе-

ренциальных и интегральных компонент этого состояния;  
TIG22 - то же, что и TIG21, но с запоминанием только дифференциальных компонент осевых и изгибных деформаций конструкций;  
TIG23 - анализ конструкции для выявления возможности достижения ею одного из предельных состояний;  
TIG24 - учет нелинейности деформативных свойств породы.

Из рис. 3 видно, что алгоритм нелинейного расчета включает в себя 3 циклических процесса. В первом цикле реализован итерационный процесс по уточнению "зоны отлипания". Это уточнение проводится на каждом этапе загружения конструкции. Критерием завершения данного итерационного процесса является стабилизация деформированного состояния контактного слоя между породой и обделкой в соответствии с теорией местных деформаций.

Второй цикл реализует итерационный процесс уточнения жесткостных характеристик конструкции на каждом этапе ее загружения. Поскольку модули TIG13 и TIG14 в результате анализа напряженно-деформированного состояния расчетных сечений могут изменить их физико-механические характеристики, то модуль TIG15 проверяет, изменилась ли жесткость конструкции в целом относительно предыдущей итерации.

В случае расхождения между соседними итерациями, превышающего допустимую погрешность, управление передается последовательно блокам: TIG20, TIG22, TIG12 и TIG23, которые, осуществив свои вышеуказанные функции, либо передают управление модулю TIG02, либо прекращают расчет в случае достижения конструкцией одного из предельных состояний. Критерием окончания итерационного процесса во втором цикле является стабилизация жесткости конструкции. В случае достижения стабилизации управление передается третьему циклу. В этом цикле осуществляется учет геометрической нелинейности расчетной схемы (TIG17), учет наследственности деформированного состояния контактного слоя и самой конструкции (TIG19 и TIG21), анализируется конструкция по предельным состояниям (TIG23), учитывается нелинейность деформативных свойств породного массива (TIG24), вычисляется нагрузка следующего этапа загружения (TIG15), печатается таблица напряженно-деформированного состояния системы "порода-обделка" на данном этапе загружения (TIG12) и передается управление на анализ следующего этапа загружения (TIG06). Если модуль TIG23 выявит достижение конструкцией

одного из предельных состояний, то расчет прекращается. Расчет прекращается и при достижении заданного в исходных данных максимального количества этапов загружения.

### 3. ПОДГОТОВКА ИСХОДНЫХ ДАННЫХ К РАСЧЕТУ

В настоящем обязательном приложении приводится единая инструкция: для расчета подземных конструкций в упругой (линейной) стадии и для нелинейного их расчета. При линейном расчете при подготовке исходных данных следует использовать первые 21 позицию общей инструкции: нумерация файлов ведется в первом левом столбце инструкции, представленной в табл. 2.

Для подготовки исходных данных необходимо знакомство с оператором "FORMAT" языка "ФОРТРАН". В частности, требуется знание описателей полей ввода для преобразования информации от внешнего представления к внутреннему.

Описание исходных данных приводится в последовательности их ввода в читающее устройство ЭВМ. Следует обратить особое внимание на нумерацию вводимых массивов (первая левая колонка таблицы – инструкции) – каждый номер в одном расчете может встречаться только один раз.

### 4. ФОРМИРОВАНИЕ ЗАДАНИЯ НА РАСЧЕТ

Расчет подземных конструкций по методу ЦНИИС производится на ЕС ЭВМ (ЕС-1033, ЕС-1045) по следующим двум программам:

TIGC2 – линейный расчет;

TIGNL – нелинейный расчет.

Для проведения линейного расчета на перфокартах формируется колода, включающая в себя следующие составные части:

№ перфо- карт	Содержание перфокарт
I	2
I	//TGI J08 (190,12,1), ГАРБЕР В.А.
2	//S1 EXEC PGM=TIGC2, REGION=300K

I 2

---

3 //STEP LIB DD DSN=P1.ABS, DISP=SHR

4 //IFT@6F001 DD SYSOUT=A, DCB=(OPTCD=2,BLKSIZE=129)

5 //IFT@3F001 DD SYSOUT=A, DCB=(OPTCD=2,BLKSIZE=129)

6 //IFT@5F001 DD \*

7 }

• Исходные данные в соответствии спп. I-2I гр.I табл. 2.

•

.....

//

Для проведения нелинейного расчета на перфокартах формируется колода, включающая в себя следующие составные части:

№  
перфо-  
карт

Содержание перфокарт

---

I //T1GNL J0V (190,12,I), ▼ ГАРБЕР В.А. ▼  
2 //S1 EXEC PGM=T1GNL, REGION = 300K  
3 //STEP1TB DD DSN=P1.ABS, DISP = SHR  
4 //FTG6F01 DD SYSOUT=A, DCB = OPTCD=Z  
5 //FTG5F01 DD \*  
6  
7  
8  
9  
10  
11  
12  
13  
14  
15  
16  
17  
18  
19  
20  
21  
22  
23  
24  
25  
26  
27  
28  
29  
30  
31  
32  
33  
34  
35  
36  
37  
38  
39  
40  
41  
42  
43  
44  
45  
46  
47  
48  
49  
50  
51  
52  
53  
54  
55  
56  
57  
58  
59  
60  
61  
62  
63  
64  
65  
66  
67  
68  
69  
70  
71  
72  
73  
74  
75  
76  
77  
78  
79  
80  
81  
82  
83  
84  
85  
86  
87  
88  
89  
90  
91  
92  
93  
94  
95  
96  
97  
98  
99  
100  
101  
102  
103  
104  
105  
106  
107  
108  
109  
110  
111  
112  
113  
114  
115  
116  
117  
118  
119  
120  
121  
122  
123  
124  
125  
126  
127  
128  
129  
130  
131  
132  
133  
134  
135  
136  
137  
138  
139  
140  
141  
142  
143  
144  
145  
146  
147  
148  
149  
150  
151  
152  
153  
154  
155  
156  
157  
158  
159  
160  
161  
162  
163  
164  
165  
166  
167  
168  
169  
170  
171  
172  
173  
174  
175  
176  
177  
178  
179  
180  
181  
182  
183  
184  
185  
186  
187  
188  
189  
190  
191  
192  
193  
194  
195  
196  
197  
198  
199  
200  
201  
202  
203  
204  
205  
206  
207  
208  
209  
210  
211  
212  
213  
214  
215  
216  
217  
218  
219  
220  
221  
222  
223  
224  
225  
226  
227  
228  
229  
229  
230  
231  
232  
233  
234  
235  
236  
237  
238  
239  
239  
240  
241  
242  
243  
244  
245  
246  
247  
248  
249  
249  
250  
251  
252  
253  
254  
255  
256  
257  
258  
259  
259  
260  
261  
262  
263  
264  
265  
266  
267  
268  
269  
269  
270  
271  
272  
273  
274  
275  
276  
277  
278  
279  
279  
280  
281  
282  
283  
284  
285  
286  
287  
288  
289  
289  
290  
291  
292  
293  
294  
295  
296  
297  
298  
299  
299  
300  
301  
302  
303  
304  
305  
306  
307  
308  
309  
309  
310  
311  
312  
313  
314  
315  
316  
317  
318  
319  
319  
320  
321  
322  
323  
324  
325  
326  
327  
328  
329  
329  
330  
331  
332  
333  
334  
335  
336  
337  
338  
339  
339  
340  
341  
342  
343  
344  
345  
346  
347  
348  
349  
349  
350  
351  
352  
353  
354  
355  
356  
357  
358  
359  
359  
360  
361  
362  
363  
364  
365  
366  
367  
368  
369  
369  
370  
371  
372  
373  
374  
375  
376  
377  
378  
379  
379  
380  
381  
382  
383  
384  
385  
386  
387  
388  
389  
389  
390  
391  
392  
393  
394  
395  
396  
397  
398  
399  
399  
400  
401  
402  
403  
404  
405  
406  
407  
408  
409  
409  
410  
411  
412  
413  
414  
415  
416  
417  
418  
419  
419  
420  
421  
422  
423  
424  
425  
426  
427  
428  
429  
429  
430  
431  
432  
433  
434  
435  
436  
437  
438  
439  
439  
440  
441  
442  
443  
444  
445  
446  
447  
448  
449  
449  
450  
451  
452  
453  
454  
455  
456  
457  
458  
459  
459  
460  
461  
462  
463  
464  
465  
466  
467  
468  
469  
469  
470  
471  
472  
473  
474  
475  
476  
477  
478  
479  
479  
480  
481  
482  
483  
484  
485  
486  
487  
488  
489  
489  
490  
491  
492  
493  
494  
495  
496  
497  
498  
499  
499  
500  
501  
502  
503  
504  
505  
506  
507  
508  
509  
509  
510  
511  
512  
513  
514  
515  
516  
517  
518  
519  
519  
520  
521  
522  
523  
524  
525  
526  
527  
528  
529  
529  
530  
531  
532  
533  
534  
535  
536  
537  
538  
539  
539  
540  
541  
542  
543  
544  
545  
546  
547  
548  
549  
549  
550  
551  
552  
553  
554  
555  
556  
557  
558  
559  
559  
560  
561  
562  
563  
564  
565  
566  
567  
568  
569  
569  
570  
571  
572  
573  
574  
575  
576  
577  
578  
579  
579  
580  
581  
582  
583  
584  
585  
586  
587  
588  
589  
589  
590  
591  
592  
593  
594  
595  
596  
597  
598  
599  
599  
600  
601  
602  
603  
604  
605  
606  
607  
608  
609  
609  
610  
611  
612  
613  
614  
615  
616  
617  
618  
619  
619  
620  
621  
622  
623  
624  
625  
626  
627  
628  
629  
629  
630  
631  
632  
633  
634  
635  
636  
637  
638  
639  
639  
640  
641  
642  
643  
644  
645  
646  
647  
648  
649  
649  
650  
651  
652  
653  
654  
655  
656  
657  
658  
659  
659  
660  
661  
662  
663  
664  
665  
666  
667  
668  
669  
669  
670  
671  
672  
673  
674  
675  
676  
677  
678  
679  
679  
680  
681  
682  
683  
684  
685  
686  
687  
688  
689  
689  
690  
691  
692  
693  
694  
695  
696  
697  
698  
699  
699  
700  
701  
702  
703  
704  
705  
706  
707  
708  
709  
709  
710  
711  
712  
713  
714  
715  
716  
717  
718  
719  
719  
720  
721  
722  
723  
724  
725  
726  
727  
728  
729  
729  
730  
731  
732  
733  
734  
735  
736  
737  
738  
739  
739  
740  
741  
742  
743  
744  
745  
746  
747  
748  
749  
749  
750  
751  
752  
753  
754  
755  
756  
757  
758  
759  
759  
760  
761  
762  
763  
764  
765  
766  
767  
768  
769  
769  
770  
771  
772  
773  
774  
775  
776  
777  
778  
779  
779  
780  
781  
782  
783  
784  
785  
786  
787  
788  
789  
789  
790  
791  
792  
793  
794  
795  
796  
797  
798  
799  
799  
800  
801  
802  
803  
804  
805  
806  
807  
808  
809  
809  
810  
811  
812  
813  
814  
815  
816  
817  
818  
819  
819  
820  
821  
822  
823  
824  
825  
826  
827  
828  
829  
829  
830  
831  
832  
833  
834  
835  
836  
837  
838  
839  
839  
840  
841  
842  
843  
844  
845  
846  
847  
848  
849  
849  
850  
851  
852  
853  
854  
855  
856  
857  
858  
859  
859  
860  
861  
862  
863  
864  
865  
866  
867  
868  
869  
869  
870  
871  
872  
873  
874  
875  
876  
877  
878  
879  
879  
880  
881  
882  
883  
884  
885  
886  
887  
888  
889  
889  
890  
891  
892  
893  
894  
895  
896  
897  
898  
899  
899  
900  
901  
902  
903  
904  
905  
906  
907  
908  
909  
909  
910  
911  
912  
913  
914  
915  
916  
917  
918  
919  
919  
920  
921  
922  
923  
924  
925  
926  
927  
928  
929  
929  
930  
931  
932  
933  
934  
935  
936  
937  
938  
939  
939  
940  
941  
942  
943  
944  
945  
946  
947  
948  
949  
949  
950  
951  
952  
953  
954  
955  
956  
957  
958  
959  
959  
960  
961  
962  
963  
964  
965  
966  
967  
968  
969  
969  
970  
971  
972  
973  
974  
975  
976  
977  
978  
979  
979  
980  
981  
982  
983  
984  
985  
986  
987  
988  
989  
989  
990  
991  
992  
993  
994  
995  
996  
997  
998  
999  
999  
1000  
1001  
1002  
1003  
1004  
1005  
1006  
1007  
1008  
1009  
1009  
1010  
1011  
1012  
1013  
1014  
1015  
1016  
1017  
1018  
1019  
1019  
1020  
1021  
1022  
1023  
1024  
1025  
1026  
1027  
1028  
1029  
1029  
1030  
1031  
1032  
1033  
1034  
1035  
1036  
1037  
1038  
1039  
1039  
1040  
1041  
1042  
1043  
1044  
1045  
1046  
1047  
1048  
1049  
1049  
1050  
1051  
1052  
1053  
1054  
1055  
1056  
1057  
1058  
1059  
1059  
1060  
1061  
1062  
1063  
1064  
1065  
1066  
1067  
1068  
1069  
1069  
1070  
1071  
1072  
1073  
1074  
1075  
1076  
1077  
1078  
1079  
1079  
1080  
1081  
1082  
1083  
1084  
1085  
1086  
1087  
1088  
1089  
1089  
1090  
1091  
1092  
1093  
1094  
1095  
1096  
1097  
1098  
1099  
1099  
1100  
1101  
1102  
1103  
1104  
1105  
1106  
1107  
1108  
1109  
1109  
1110  
1111  
1112  
1113  
1114  
1115  
1116  
1117  
1118  
1119  
1119  
1120  
1121  
1122  
1123  
1124  
1125  
1126  
1127  
1128  
1129  
1129  
1130  
1131  
1132  
1133  
1134  
1135  
1136  
1137  
1138  
1139  
1139  
1140  
1141  
1142  
1143  
1144  
1145  
1146  
1147  
1148  
1149  
1149  
1150  
1151  
1152  
1153  
1154  
1155  
1156  
1157  
1158  
1159  
1159  
1160  
1161  
1162  
1163  
1164  
1165  
1166  
1167  
1168  
1169  
1169  
1170  
1171  
1172  
1173  
1174  
1175  
1176  
1177  
1178  
1179  
1179  
1180  
1181  
1182  
1183  
1184  
1185  
1186  
1187  
1188  
1189  
1189  
1190  
1191  
1192  
1193  
1194  
1195  
1196  
1197  
1198  
1199  
1199  
1200  
1201  
1202  
1203  
1204  
1205  
1206  
1207  
1208  
1209  
1209  
1210  
1211  
1212  
1213  
1214  
1215  
1216  
1217  
1218  
1219  
1219  
1220  
1221  
1222  
1223  
1224  
1225  
1226  
1227  
1228  
1229  
1229  
1230  
1231  
1232  
1233  
1234  
1235  
1236  
1237  
1238  
1239  
1239  
1240  
1241  
1242  
1243  
1244  
1245  
1246  
1247  
1248  
1249  
1249  
1250  
1251  
1252  
1253  
1254  
1255  
1256  
1257  
1258  
1259  
1259  
1260  
1261  
1262  
1263  
1264  
1265  
1266  
1267  
1268  
1269  
1269  
1270  
1271  
1272  
1273  
1274  
1275  
1276  
1277  
1278  
1279  
1279  
1280  
1281  
1282  
1283  
1284  
1285  
1286  
1287  
1288  
1289  
1289  
1290  
1291  
1292  
1293  
1294  
1295  
1296  
1297  
1298  
1299  
1299  
1300  
1301  
1302  
1303  
1304  
1305  
1306  
1307  
1308  
1309  
1309  
1310  
1311  
1312  
1313  
1314  
1315  
1316  
1317  
1318  
1319  
1319  
1320  
1321  
1322  
1323  
1324  
1325  
1326  
1327  
1328  
1329  
1329  
1330  
1331  
1332  
1333  
1334  
1335  
1336  
1337  
1338  
1339  
1339  
1340  
1341  
1342  
1343  
1344  
1345  
1346  
1347  
1348  
1349  
1349  
1350  
1351  
1352  
1353  
1354  
1355  
1356  
1357  
1358  
1359  
1359  
1360  
1361  
1362  
1363  
1364  
1365  
1366  
1367  
1

Таблица 2

Порядковый номер файла	Идентификатор	Размерность	Формат ввода	Содержательный смысл	Примечание
I	2	3	4	5	6
I	OM	30	IOF6.0	Общий массив	Смысл каждой компоненты поясняется ниже
	OM(1)			Количество нечетных точек расчетной схемы	$3 \leq OM(1) \leq 55$
	OM(2)			Признак режима работы блока TIG08: при $OM(2) = 0$ блок TIG08 вводит с перфокарт массивы K10, K30, KB, SG, EP; при $OM(2) \neq 0$ блок TIG08 не вводит эти массивы, так как они уже находятся в области "COMMON".	При подготовке исходных данных надо задавать $OM(2) = 0$
	OM(3)			Признак режима работы блока TIG23: при $OM(3)=0$ блок TIG23 вводит с перфокарт массивы NB и PR; при $OM(3) \neq 0$ блок TIG23 не вводит эти массивы, так как они уже находятся в области "COMMON".	При подготовке исходных данных надо задавать $OM(3) = 0$
	OM(4)			Признак наличия внутренних связей в конструкции:	

Продолжение табл. 2

I	2	3	4	5	6
				<p>при <math>\text{OM}(4) = 0</math> в конструкции нет внутренних связей;</p> <p>при <math>\text{OM}(4) = 1</math> в конструкции есть внутренние связи</p> <p>Номер точки, лежащей на вертикальной оси симметрии нагрузки и конструкции</p>	
$\text{OM}(5)$					Если симметрии нет, то $\text{OM}(5) = 0$
$\text{OM}(6)$				<p>Номер точки, лежащей на горизонтальной оси симметрии конструкции и нагрузки</p>	Если симметрии нет, то $\text{OM}(6) = 0$
$\text{OM}(7)$				Номер этапа загружения	<p>При подготовке исходных данных для нелинейного расчета <math>\text{OM}(7) = 1</math>;</p> <p>для линейного расчета <math>\text{OM}(7) = 0</math></p>
$\text{OM}(8)$				<p>Номер этапа загружения, с которого приращение нагрузки размельчается</p>	При линейном расчете $\text{OM}(8) = 0$
$\text{OM}(9)$				<p>Число, во сколько раз размельчается приращение нагрузки с этапа, указанного в <math>\text{OM}(8)</math></p>	При линейном расчете $\text{OM}(9) = 0$
$\text{OM}(10)$				Количество внутренних связей в конструкции	
$\text{OM}(11)$				<p>Признак печати напряженно-деформированного состояния конструкции на промежуточных этапах итерационного процесса по уточнению "зоны отливания":</p> <p>при <math>\text{OM}(11) = 1</math> печать нужна;</p> <p>при <math>\text{OM}(11) = 0</math> печать не нужна</p>	

Продолжение табл. 2

I	2	3	4	5	6
	OM(12)			Число участков, на которые разбита расчетная схема, с равномерным распределением расчетных сечений на них. Учитываются только нечетные точки	Если расчетная ось задана координатами своих вершин, то OM(12) равно количеству нечетных вершин OM(1)
	OM(13)			Параметр оптимизации исходных данных	Надо всегда задавать OM(13) = 90
	OM(14)			Признак, указывающий тип нагрузки на подземную конструкцию:  OM(14) = 1  OM(14) = 2  OM(14) = 3  OM(14) = 4  OM(14) = 5	Задана только сосредоточенная в нечетных вершинах нагрузка: обязательно и вертикальная и горизонтальная  Задана только интенсивность нагрузки между нечетными вершинами: обязательно и вертикальная и горизонтальная  Задана совместно нагрузка, которая указана для OM(14) = 1 и OM(14)=2. Сначала вводится узловая нагрузка (вертикальная и горизонтальная), затем интенсивность  Задана только узловая вертикальная нагрузка, т.е. горизонтальной нагрузки нет  Задана только узловая горизонтальная нагрузка, т.е. вертикальной нагрузки нет

Продолжение табл. 2

I	2	3	4	5	6
				<p>OM(I4) = 6</p> <p>OM(I4) = 7</p> <p>OM(I4) = 8</p> <p>OM(I4) = 9</p> <p>OM(I4) = 10</p> <p>OM(I4) = 11</p>	<p>Задана только интенсивность вертикальной нагрузки между нечетными вершинами, т.е. горизонтальной нагрузки нет</p> <p>Задана только интенсивность горизонтальной нагрузки между нечетными вершинами, т.е. вертикальной нагрузки нет</p> <p>Задана совместно нагрузка, указанная при OM(I4)=4 и при OM(I4)=6</p> <p>Задана совместно нагрузка, указанная при OM(I4)=5 и при OM(I4)=7</p> <p>Задана совместно нагрузка, указанная при OM(I4)=4 и при OM(I4)=7</p> <p>Задана совместно нагрузка, указанная при OM(I4)=5 и при OM(I4)=6</p>
OM(I5)				Количество опорных элементов Винклеровского основания, в которых допускается растяжение – точность определения "зоны отлипания"	При абсолютной точности определения "зоны отлипания" надо задавать OM(I5)=0
OM(I6) OM(I7)				Рабочая ячейка(ее занимать нельзя) Признак режима работы блока TIG24: при OM(I7)=0 блок TIG24 вводит с перфокарт массивы HKI и SHI (см.пп. 29 и 30); при OM(I7)≠0 эти массивы не вводятся, так как они уже	Задавать OM(I6)=0 При нелинейном расчете задавать OM(I7)=0, если учитывается нелинейность работы породы по нормали к контуру, и OM(I7)=1, если не учитывается эта нелинейность

Продолжение табл. 2

34

I	2	3	4	5	6
	OM(18)			<p>находятся в области "COMMON" или их вообще нет</p> <p>Второй признак режима работы блока TIG24:</p> <p>при OM(18)=0 блок TIG24 вводит с перфокарт массивы GKI и SKI (см.пп. 31 и 32);</p> <p>при OM(18)≠0 эти массивы не вводятся, так как они уже находятся в области "COMMON" или их вообще нет</p>	<p>При линейном расчёте задавать OM(18)=0</p> <p>При нелинейном расчете задавать OM(18)=0, если учитывается нелинейность работы породы по касательной к контуру, и OM(18)=1, если не учитывается эта нелинейность. При линейном расчете задавать OM(18)=0</p>
	OM(19)			<p>Рабочая ячейка</p>	Задавать OM(19)=0
	OM(20)			<p>Признак работы блока TIG15:</p> <p>при OM(20)=1 расчет ведется на полную нагрузку;</p> <p>при OM(20)=0 расчет ведется на приращение нагрузки</p>	<p>При нелинейном расчете задавать OM(20)=1</p> <p>При линейном расчете задавать OM(20)=0</p>
	OM(21)			<p>Признак бокового выхода блока TIG15:</p> <p>при OM(21)=0 блок TIG15 работает в обычной последовательности, т.е. передает управление блоку TIG17 (прямой выход);</p> <p>при OM(21)≠0 блок TIG15 передает управление блоку TIG20 (боковой выход)</p>	Задавать всегда OM(21)=0
	OM(22)			<p>Максимальное число ступеней (этапов) загружения конструкции</p>	Это число регулирует максимальное время счета

Продолжение табл. 2

I	2	3	4	5	6
	OM(23)			Признак печати выходной информации о состоянии четных вершин расчетной схемы: при OM(23)=0 надо печатать; при OM(23)=1 не надо печатать	
2	OM(24)- OM(30)	N2	OM(12)	30I2  Резервные ячейки	Задавать их равными 0
3	R0	OM(12)	9E7.3	Количество равных подучастков на каждом участке расчетной схемы с постоянным радиусом (учитываются только нечетные точки)	Если расчетная ось задана координатами, то все компоненты массива N2 задавать равными 1. Вообще для $i$ -го прямолинейного участка $N2(i) = 1$
4	X	OM(12)	9E7.3	Радиусы кривизны участков расчетной схемы. Размерность - метры	Если расчетная ось задана координатами своих вершин, то все компоненты массива R0 задавать равными 0. Вообще для $i$ -го прямолинейного участка $R0(i) = 0$
5	y	OM(12)	9E7.3	Абсциссы центров кривизны участков расчетной схемы. Размерность - метры	Если расчетная ось задана координатами своих вершин, то массивы X и Y - массивы координат нечетных вершин расчетной схемы
6	Z	L (логи- ческий массив)	3xOM(I)	60L1  Признаки наличия шарниров в конструкции и отсутствия упругих опор в нечетных вершинах расчетной схемы:	

Продолжение табл. 2

36

I	2	3	4	5	6
7	N22	8	8II	<p><math>L(I) = T</math> – при отсутствии шарнира в I-й вершине;</p> <p><math>L(I) = F</math> – при наличии шарнира в I-й вершине;</p> <p><math>L[2 \times OM(1) + J] = T</math> –</p> <p>при наличии Винклеровской опоры в J-й нечетной вершине;</p> <p><math>L[2 \times OM(1) + J] = F</math> –</p> <p>при отсутствии Винклеровской опоры в J-й нечетной вершине</p> <p>Признаки для последующей информации (см. пп. 8-15)</p>	<p>Смысловое значение дается по каждой компоненте этого массива</p>
	N22(1)			<p><math>N22(1)=1</math>, если массив <math>AL</math> весь нулевой, кроме признака размерности;</p> <p><math>N22(1)=2</math>, если массив <math>AL</math> не нулевой: вводится полностью, а перед ним признак размерности</p>	См. п.8
	N22(2)			<p><math>N22(2)=1</math>, если массив <math>E</math> постоянный по контуру конструкции;</p> <p><math>N22(2)=2</math>, если массив <math>E</math> переменный по контуру конструкции</p>	См. п.10
	N22(3)			<p><math>N22(3)=1</math>, если массив <math>R</math> постоянный по контуру конструкции;</p> <p><math>N22(3)=2</math>, если массив <math>R</math> переменный по контуру конструкции</p>	См. п.11
	N22(4)			<p><math>N22(4)=1</math>, если массив <math>F</math> постоянный по контуру конструкции;</p> <p><math>N22(4)=2</math>, если массив <math>F</math> переменный по контуру конструкции</p>	См. п.12

Продолжение табл. 2

	2	3	4	5	6
	N22(5)			N22(5)=1, если массив НК постоянный по контуру конструкции и не равен 0; N22(5)=2, если массив НК переменный по контуру и ни одна из его компонент не равна 0	См. п. I3
	N22(6)			N 22(6)=1, если массив G K постоянный по контуру и не равен 0; N 22(6)=2, если массив G K переменный по контуру и ни одна из его компонент не равна 0	См.п. I4
	N22(7)			N 22(7)=1, если массив F I не нулевой; N 22(7)=2, если массив F I весь нулевой и вводить его не надо	См.п. I5
	N22(8)			N 22(8)=1, если нужна отладочная печать по исходной информации; N 22(8)=2, если не нужна отладочная печать	
8	Если N22(1)=1, то AL (I)	I	F2.0	Это число является признаком размерности массивов AL и AL I: AL (I)=1, если углы задаются в градусах, минутах, секундах; AL (I)=2, если углы задаются в радианах	
	Если N22(1)=2, то AL (массив)	OM(I2)+I	6F10.0	Центральные углы участков расчетной схемы. Первая компонента этого массива - признак размерности, в которой задаются остальные компоненты этого массива. При AL (I)=1 остальные компоненты этого массива задаются в условном	Первая компонента этого массива задается по вышеуказанному правилу

Продолжение табл. 2

86

I	2	3	4	5	6
				<p>формате:</p> $\alpha = \alpha_1 \alpha_2 \alpha_3 \alpha_4 \alpha_5 \alpha_6 \alpha_7 \alpha_8 \alpha_9,$ где $\alpha_1$ - сотни градусов $\alpha_2$ - десятки градусов $\alpha_3$ - градусы $\alpha_4$ - десятки минут $\alpha_5$ - минуты $\alpha_6$ - десятки секунд $\alpha_7$ - секунды $\alpha_8$ - десятые доли секунд $\alpha_9$ - сотые доли секунд	
9	AL I	OM(I2)	6F10.0	<p>При <math>AL(I)=2</math>, остальные компоненты массива задаются в радианах как вещественные десятичные числа в формате, указанном в столбце 4</p> <p>Углы направления нормалей к контуру конструкции в начальных точках каждого участка расчетной схемы</p>	<p>Массив <math>AL</math> обязательно задается в тех же единицах, что и массив <math>AL</math></p>
10	Если $N22(2)=1$ , то $E(I)$	1	F8.3	<p>Постоянный по контуру приведенный модуль деформации сечений, вычисляемый по формуле</p> $E(I) = \left( \sum_{J=1}^K E(J) \cdot F(J) \right) / \sum_{J=1}^K F(J),$ <p>где <math>I</math> - номер расчетного сечения;  <math>J</math> - номер слоя в сечении;  <math>K</math> - число слоев в сечении (см. массив K30);  <math>E(J)</math> - модуль деформации <math>J</math>-го слоя;</p>	<p>При линейном расчете <math>E(I)</math> - постоянный по контуру конструкции модуль упругости ее материала</p> <p>Размерности: <math>E(I)</math> и <math>E(J)</math> - <math>тс/м^2</math>  <math>F(J)</math> - <math>м^2</math></p>

Продолжение табл. 2

I	2	3	4	5	6
	Если N22(2)=2, то E (массив)	2xOM(I)	8F8.3	<p><math>F(J)</math> - площадь <math>J</math>-го слоя</p> <p>Значения переменного по контуру приведенного модуля деформаций расчетных сечений</p>	<p>Вычисляются по вышеприведенной формуле.</p> <p>В случае линейного расчета - это массив значений переменного по контуру конструкции модуля упругости материала, ее составляющего</p>
II	Если N22(3)=1, то R(I)	I	F10.5	<p>Постоянный по контуру конструкции момент инерции расчетного сечения относительно его центра тяжести, вычисляемый по формуле</p> $R(I) = \sum_{J=1}^K (Y(J))^2 \cdot F(J),$ <p>где <math>I</math> - номер расчетного сечения;  <math>J</math> - номер слоя в сечении;  <math>K</math> - число слоев в сечении;  <math>Y(J)</math> - расстояние <math>J</math>-го слоя от центра тяжести сечения;  <math>F(J)</math> - площадь <math>J</math>-го слоя</p> <p>Координаты центра тяжести сечения вычисляются по формулам:</p> $X_c = \sum_{J=1}^K (X(J) \cdot F(J)) / F(I);$ $Y_c = \sum_{J=1}^K (Y(J) \cdot F(J)) / F(I),$ <p>где <math>X(J)</math> координаты <math>J</math>-го слоя относительно нижней грани сечения;</p>	<p>При линейном расчете <math>R(I)</math> - постоянный по контуру момент инерции сечения, вычисляемый по обычным формулам сопромата.</p> <p>Размерности:</p> <p><math>R(I)</math> - <math>m^4</math>  <math>X(J)</math> - <math>m</math>  <math>Y(J)</math> - <math>m</math>  <math>P(J)</math> - <math>m^2</math>  <math>F(I)</math> - <math>m^2</math></p>

I	2	3	4	5	6
				$F(I)$ - площадь всего 1-го сечения	
	Если N22(3)=2, то R (массив)	2xOM(I)	6P10.5	Значения переменного по контуру момента имерции расчетных сечений относительно их центров тяжести	Вычисляются по вышеприведенным формулам. Размерность - $m^4$
12	Если N22(4)=1, то F(I)	I	P10.5	Постоянная по контуру конструкции площадь расчетных сечений	Размерность - $m^2$
	Если N22(4)=2, то F (массив)	2xOM(I)	6 F 10.5	Значения переменной по контуру конструкции площади поперечного сечения расчетных сечений конструкции	Размерность - $m^2$
13	Если N22(5)=1, то НК(I)	I	F7.1	Постоянный по контуру конструкции коэффициент упругого отпора породы по нормали к контуру, не равный нулю	Размерность - $tc/m^3$ . В случае отсутствия отпора на отдельных участках контура конструкции информация об этом задается в массиве L (см.п.6)
	Если N22(5)=2, то НК (массив)	OM(I)	10F7.1	Значения переменного по контуру конструкции коэффициента упругого отпора породы по направлению нормали, не равного нулю	Размерность - $tc/m^3$ . В случае отсутствия отпора на отдельных участках контура конструкции информация об этом задается в массиве L, а в массиве НК на этих участках задается значение отпора так же, как на соседних участках, где есть отпор Другой способ: в массиве L никакой информации об отсутствии отпора не давать

Продолжение табл. 2

I	2	3	4	5	6
I4	Если $N_{22}(6)=1$ , то $GK(1)$	1	F7.1	Постоянный по контуру конструкции коэффициент упругого отпора породы по направлению касательной к контуру, не равный нулю	в массиве НК соответствующие компоненты задавать равными 10 (условный нуль) Размерность - тс/м <sup>3</sup> . В случае отсутствия отпора по касательному направлению надо задавать $GK(1)=10$
	Если $N_{22}(6)=2$ , то $GK$ (массив)	0M(1)	10P7.1	Значения переменного по контуру коэффициента упругого отпора породы по направлению касательной к контуру конструкции, не равного нулю	Размерность - тс/м <sup>3</sup> . В случае отсутствия отпора по касательной на отдельных участках контура, соответствующие компоненты массива $GK$ надо задавать равными 10
I5	Если $N_{22}(7)=1$ , то FI	0M(1)	6F11.10	Угол отклонения нормальных опорных стержней от направления нормали при наличии трения обделки по породе. Значения компонент массива FI вычисляются по формуле $FI(I) = 0,5 \times arctg(K_{tr}),$ где $K_{tr}$ - коэффициент трения обделки по породе. Массив FI можно использовать в тех случаях, когда надо изменить направление нормальных опорных стержней в отдельных или во всех нечетных вершинах. Например, при расчете многосвязной конструкции может понадобиться изменить направление нормальных опорных стержней в местах примыкания внутренних связей к ос-	Размерность - радианы

Продолжение табл. 2

23

I	2	3	4	5	6
				новному контуру конструкции	
	Если N22(7)=2, то массив FI вводить не надо			Если OM(I4)=1	
I6	P1	OM(I)	8E8.2	Вертикальные узловые нагрузки в нечетных вершинах расчетной схемы. Правило знаков: сила считается положительной, если она направлена против положительного направления координатной оси OY; сила считается отрицательной, если она направлена вдоль положительного направления координатной оси OY	Размерность - тонны. В нечетных вершинах расчетной схемы, в которых нагрузка отсутствует, надо задавать P1(I)=0
I7	Q1	OM(I)	8E8.2	Горизонтальные узловые нагрузки в нечетных вершинах расчетной схемы. Правило знаков: сила считается положительной, если она направлена против положительного направления координатной оси OX; сила, направленная вдоль положительного направления оси OX, считается отрицательной	Размерность - тонны. В нечетных вершинах расчетной схемы, в которых нагрузка отсутствует, надо задавать Q1(I)=0
I6	P2	OM(I)	8E8.2	Если OM(I4)=2 Интенсивность вертикальной нагрузки на участках между нечетными вершинами расчетной схемы. Правило знаков то же, что для P1 (см. выше)	Размерность - $\text{тс}/\text{м}^2$ . На участках без нагрузки надо задавать P2(I)=0

Продолжение табл. 2

I	2	3	4	5	6
I7	Q2	OM(I)	8E8.2	Интенсивность горизонтальной нагрузки на участках между нечетными вершинами расчетной схемы. Правило знаков то же, что для Q1 (см. выше)  Если OM(I4)=3	Размерность - тс/м <sup>2</sup> . На участках без нагрузки надо задавать Q2(I)=0
I6	P1	OM(I)	8E8.2	см. P1 при OM(I4)=1	
I7	Q1	OM(I)	8E8.2	см. Q1 при OM(I4)=1	
I8	P2	OM(I)	8E8.2	см. P2 при OM(I4)=2	
I9	Q2	OM(I)	8E8.2	см. Q2 при OM(I4)=2  Если OM(I4)=4	
I6	P1	OM(I)	8E8.2	см. P1 при OM(I4)=1  Если OM(I4)=5	
I6	Q1	OM(I)	8E8.2	см. Q1 при OM(I4)=1  Если OM(I4)=6	
I6	P2	OM(I)	8E8.2	см. P2 при OM(I4)=2  Если OM(I4)=7	
I6	Q2	OM(I)	8E8.2	см. Q2 при OM(I4)=2  Если OM(I4)=8	
I6	P1	OM(I)	8E8.2	см. P1 при OM(I4)=1	
I7	P2	OM(I)	8E8.2	см. P2 при OM(I4)=2	

Продолжение табл. 2

I	2	3	4	5	6
I6	Q1	OM(I)	8E8.2	Если OM(I4)=9 см. Q1 при OM(I4)=1	
I7	Q2	OM(I)	8E8.2	см. Q2 при OM(I4)=2	
I6	P1	OM(I)	8E8.2	Если OM(I4)=10 см. P1 при OM(I4)=1	
I7	Q2	OM(I)	8E8.2	см. Q2 при OM(I4)=2	
I6	Q1	OM(I)	8E8.2	Если OM(I4)=11 см. Q1 при OM(I4)=1	
I7	P2	OM(I)	8E8.2	см. P2 при OM(I4)=2	
20	III	OM(10)	15I3	Если OM(10)≠0 и OM(4)=1 Компоненты массива вычисляются по формуле $II1(K) = (I+1)/2$ , где K - порядковый номер компоненты массива II1 I - номер нечетной вершины, к которой примыкает внутрен- няя связь со стороны актив- ной нагрузки	
21	K1	OM(10)	15I3	Компоненты массива K1 вычисляются по формуле K1(K)=(II1+1)/2, где K - порядковый номер компоненты массива K1, совпадающий с но- мером K компоненты массива III	

Продолжение табл. 2

I	2	3	4	5	6
				<p>II -номер нечетной вершины, к которой примыкает внутренняя связь со стороны массивного отпора</p> <p>Если <math>\text{OM}(10)=0</math> и <math>\text{OM}(4)=0</math>, то массивы III и K1 вводить не надо</p> <p>Дополнительная информация для нелинейного расчета</p>	<p>Компоненты массивов III и K1 с одинаковым порядковым номером должны относиться к одной и той же внутренней связи</p>
22	K30	II	III4	<p>K30(1)-число слоев, на которые разбиты расчетные сечения  <math>1 \leq K30(1) \leq 20</math></p> <p>K30(2) - число вводимых диаграмм  <math>\sigma - \varepsilon</math>  <math>1 \leq K30(2) \leq 4</math></p> <p>K30(3) - количество компонент в диаграмме "<math>\sigma - \varepsilon</math>" с номером 1</p> <p>K30(4) - количество компонент в диаграмме "<math>\sigma - \varepsilon</math>" с номером 2</p> <p>K30(5) - количество компонент в диаграмме "<math>\sigma - \varepsilon</math>" с номером 3</p> <p>K30(6) - количество компонент в диаграмме "<math>\sigma - \varepsilon</math>" с номером 4</p> <p>K30(7) - количество компонент массива K10  <math>5 \leq K30(7) \leq 2200</math></p>	<p>Все компоненты этого массива располагать на одной перфокарте</p> <p>Подсчитывается при подготовке массива K10</p>

Продолжение табл. 2

64

I	2	3	4	5	6
23	$S_g$	$K30(3) + K30(4) + K30(5) + K30(6)$ , но не бо- лее 160	8F9.1	<p><math>K30(8)</math> - количество компонент мас- сива KB</p> $5 \leq K30(8) \leq 2200$ <p><math>K30(9)</math> - количество компонент мас- сивов NB и PR</p> $2 \leq K30(9) \leq 30$ <p><math>K30(10)</math> - количество компонент мас- сивов HKI и SHI</p> $0 \leq K30(10) \leq 20$ <p><math>K30(11)</math> - количество компонент мас- сивов GKI и SKI</p> $0 \leq K30(11) \leq 20$	<p>Подсчитывается при подго- товке массива KB</p> <p>Подсчитывается при подго- товке массивов NB и PR</p> <p>Подсчитывается при подгото- вке массивов HKI и SHI</p> <p>Подсчитывается при подгото- вке массивов GKI и SKI</p>
24	$E_p$	$K30(3) + K30(4) + K30(5) + K30(6)$ , но не бо- лее 160	8F9.1	<p>Значения напряжений <math>\sigma</math> для всех вводимых диаграмм "<math>\sigma - \epsilon</math>". Вводятся подряд (без перерыва) значения всех имеющихся диаграмм (от № 1 до № 4). Каждая диаграмма записывается слева направо: от максимальных по модулю отрицательных значений до максимальных положительных значений</p> <p>Значения относительных деформаций <math>\epsilon</math> для всех вводимых диаграмм "<math>\sigma - \epsilon</math>". Вводятся подряд (без перерыва) значения всех имеющихся диаграмм (от № 1 до № 4) в строгом соответст- вии с последовательностью компо- нент массива <math>S_g</math></p>	<p>Размерность - <math>\text{tc/m}^2</math>. Растягивающие напряжения должны иметь знак минус. Если проводится нелинейный расчет конструкции при ли- нейной работе материала обделки, то надо вводить линейную диаграмму "<math>\sigma - \epsilon</math>"</p> <p>Безразмерные величины - доли единицы. Растягивающие деформации долж- ны иметь знак минус. Если проводится нелинейный расчёт конструкции при линейной ра- боте материала обделки, то надо вводить относительные деформации из линейной диаг- раммы "<math>\sigma - \epsilon</math>"</p>

Продолжение табл. 2

I	2	3	4	5	6																					
25	K10	K30(7)	2014	<p>Информация о номерах диаграмм "6-ε" для всех слоев всех сечений. Может задаваться в виде двух форматов:</p> <p>Формат № 1(5 целых положительных последовательных чисел)</p> <table border="1" style="margin-left: auto; margin-right: auto;"> <thead> <tr> <th>№ компоненты массива K10</th> <th>Содержательный смысл</th> <th>Диапазон значений</th> </tr> </thead> <tbody> <tr> <td>1</td> <td>2</td> <td>3</td> </tr> <tr> <td>i</td> <td>Номер сечения начала участка <math>\alpha_1</math></td> <td>1-110</td> </tr> <tr> <td>i+1</td> <td>Номер сечения конца участка <math>\alpha_2</math></td> <td>1-110</td> </tr> <tr> <td>i+2</td> <td>Номер начального слоя в сечении <math>\alpha_3</math></td> <td>1-20</td> </tr> <tr> <td>i+3</td> <td>Номер конечного слоя в сечении <math>\alpha_4</math></td> <td>1-20</td> </tr> <tr> <td>i+4</td> <td>Номер диаграммы "6 - ε" <math>\alpha_5</math></td> <td>1-4</td> </tr> </tbody> </table> <p>Формат № 2(3 последовательных целых числа, из которых первое - отрицательное)</p>	№ компоненты массива K10	Содержательный смысл	Диапазон значений	1	2	3	i	Номер сечения начала участка $\alpha_1$	1-110	i+1	Номер сечения конца участка $\alpha_2$	1-110	i+2	Номер начального слоя в сечении $\alpha_3$	1-20	i+3	Номер конечного слоя в сечении $\alpha_4$	1-20	i+4	Номер диаграммы "6 - ε" $\alpha_5$	1-4	<p>Форматом № 1 можно описать участки обделки, в которых номер диаграммы "6 - ε" постоянен по всей высоте сечения или его части.</p> <p>Содержательный смысл формата № 1:</p> <p>на участке обделки от сечения <math>\alpha_1</math> до сечения <math>\alpha_2</math> слои от номера <math>\alpha_3</math> до номера <math>\alpha_4</math> имеют диаграмму "6 - ε" номер <math>\alpha_5</math></p> <p>Форматом № 2 можно задавать номер диаграммы "6 - ε" в одном любом слое любого сечения обделки</p>
№ компоненты массива K10	Содержательный смысл	Диапазон значений																								
1	2	3																								
i	Номер сечения начала участка $\alpha_1$	1-110																								
i+1	Номер сечения конца участка $\alpha_2$	1-110																								
i+2	Номер начального слоя в сечении $\alpha_3$	1-20																								
i+3	Номер конечного слоя в сечении $\alpha_4$	1-20																								
i+4	Номер диаграммы "6 - ε" $\alpha_5$	1-4																								

Продолжение табл. 2

88

I	2	3	4	5	6																		
				<table border="1"> <thead> <tr> <th>1</th><th>2</th><th>3</th></tr> </thead> <tbody> <tr> <td><math>i</math></td><td>Номер сечения <math>\alpha</math>, от -1 до -110</td><td></td></tr> <tr> <td><math>i+1</math></td><td>Номер слоя <math>\alpha_2</math></td><td>1-20</td></tr> <tr> <td><math>i+2</math></td><td>Номер диаграммы "б-е" <math>\alpha_3</math></td><td>1-4</td></tr> </tbody> </table> <p>Информация о ширине слоев всех сечений. Может задаваться в виде двух форматов. Формат № 3 (5 целых положительных последовательных чисел). Первые четыре числа по форме и содержанию идентичны первым четырем числам формата № 1 для массива K10 Пятое число</p> <table border="1"> <thead> <tr> <th>1</th><th>2</th><th>3</th></tr> </thead> <tbody> <tr> <td><math>i+4</math></td><td>Ширина слоя в сантиметрах <math>\alpha_5</math> (округлять до целого)</td><td>1-999</td></tr> </tbody> </table> <p>Формат № 4 (3 последовательных числа, из которых первое отрицательное) Первые два числа по форме и содержанию идентичны первым двум числам формата № 2 для массива K10 Третье число</p>	1	2	3	$i$	Номер сечения $\alpha$ , от -1 до -110		$i+1$	Номер слоя $\alpha_2$	1-20	$i+2$	Номер диаграммы "б-е" $\alpha_3$	1-4	1	2	3	$i+4$	Ширина слоя в сантиметрах $\alpha_5$ (округлять до целого)	1-999	<p>Содержательный смысл формата № 2: в сечении <math>\alpha</math>, слой <math>\alpha_2</math> имеет диаграмму "б-е" номер <math>\alpha_3</math></p> <p>Форматом № 3 можно описать участки обделки, в которых ширина постоянна по всей высоте сечения или по его части</p> <p>Содержательный смысл формата № 3: на участке обделки от сечения <math>\alpha</math>, до сечения <math>\alpha_2</math> слои от номера <math>\alpha_3</math> до номера <math>\alpha_4</math> имеют ширину <math>\alpha_5</math>, см</p> <p>Форматом № 4 можно задать ширину одного любого слоя в любом сечении обделки</p> <p>Содержательный смысл формата № 4:</p>
1	2	3																					
$i$	Номер сечения $\alpha$ , от -1 до -110																						
$i+1$	Номер слоя $\alpha_2$	1-20																					
$i+2$	Номер диаграммы "б-е" $\alpha_3$	1-4																					
1	2	3																					
$i+4$	Ширина слоя в сантиметрах $\alpha_5$ (округлять до целого)	1-999																					
26	KB	K30(8)	2014																				

Продолжение табл. 2

I	2	3	4	5	6												
				<table border="1"> <thead> <tr> <th>1</th><th>2</th><th>3</th></tr> </thead> <tbody> <tr> <td><math>\alpha_3 + 2</math></td><td><math>\alpha_3</math>-ширина слоя в сантиметрах (округлять до целого)</td><td>1-999</td></tr> </tbody> </table>	1	2	3	$\alpha_3 + 2$	$\alpha_3$ -ширина слоя в сантиметрах (округлять до целого)	1-999	в сечении $\alpha$ , слой $\alpha_2$ имеет ширину $\alpha_3$ , см						
1	2	3															
$\alpha_3 + 2$	$\alpha_3$ -ширина слоя в сантиметрах (округлять до целого)	1-999															
27	NB	K30(9)	26I3	<p>Пары номеров вершин расчетной схемы, между которыми надо измерять расстояние и сравнивать с предельными величинами</p> <p>Структура массива NB</p> <table border="1"> <thead> <tr> <th>Номер компоненты массива</th><th>Номер вершины расчетной схемы</th><th>Примечания</th></tr> </thead> <tbody> <tr> <td><math>x + 1</math></td><td><math>j</math></td><td>пара № 1</td></tr> <tr> <td><math>x + 2</math> <math>x + 3</math></td><td><math>k</math> <math>l</math></td><td>пара № 2</td></tr> <tr> <td>K30(9)-1 K30(9)</td><td><math>h</math> <math>g</math></td><td>пара № K30(9) 2</td></tr> </tbody> </table>	Номер компоненты массива	Номер вершины расчетной схемы	Примечания	$x + 1$	$j$	пара № 1	$x + 2$ $x + 3$	$k$ $l$	пара № 2	K30(9)-1 K30(9)	$h$ $g$	пара № K30(9) 2	<p>Если при нелинейном расчете нет надобности проверять предельные общие деформации конструкции, то в массиве NB надо задать одну любую пару номеров вершин</p>
Номер компоненты массива	Номер вершины расчетной схемы	Примечания															
$x + 1$	$j$	пара № 1															
$x + 2$ $x + 3$	$k$ $l$	пара № 2															
K30(9)-1 K30(9)	$h$ $g$	пара № K30(9) 2															
28	PR	K30(9)	13F6.3	<p>Пары предельных величин (MAX и MIN) для измерений расстояний между парами вершин, указанных в массиве NB</p> <p>Структура массива PR</p>	<p>Размерность: метры и их доли с точностью до тысячных.</p> <p>Значения MAX задаются положительными, а MIN - отрицательными. Если MAX или MIN не может быть задан, то их значе-</p>												

Продолжение табл. 2

8

I	2	3	4	5	6
				Номер компоненты массива РР	Значение чисел Примечания
				z	$\alpha$ MAX для пары № 1
				$z + 1$	$\beta$ MIN для пары № 1
				$z + 2$	$c$ MAX для пары № 2
				$z + 3$	$d$ MIN для пары № 2
				K30(9)-I	$m_1$ MAX для пары № K30(9) 2
				K30(9)	$n_1$ MIN для пары № K30(9) 2
29	НКІ	K30(10)	10F8.0	Таблица значений коэффициентов упругого отпора по нормали к контуру в диаграмме " $K_N - \sigma_N$ ". Массив НКІ не может содержать нулей и располагается в порядке возрастания контактных давлений	Размерность - тс/м <sup>3</sup> . Числа записывать с десятичной точкой

Продолжение табл. 2

I	2	3	4	5	6
30	SHI	K30(10)	10F8.0	Таблица значений контактных удельных давлений по нормали к контуру, соответствующих значениям массива HKI. Массив SHI не может содержать нулей	Размерность - тс/м <sup>2</sup> . Записывать с десятичной точкой в порядке возрастания контактных давлений
31	GKI	K30(11)	10F8.0	Таблица значений коэффициента упругого отпора по касательной к контуру конструкции в диаграмме "KK- б <sub>x</sub> "	Размерность - тс/м <sup>3</sup> Правила задания массива GKI те же, что у массива HKI
32	SKI	K30(11)	10F8.0	Таблица значений контактных удельных давлений по касательной к контуру, соответствующих значениям массива GKI	Размерность - тс/м <sup>2</sup> . Правила задания массива SKI те же, что у массива SHI

## СПИСОК ЛИТЕРАТУРЫ

1. В о л к о в В.П. и др. Тоннели и метрополитены М., Транс-, спорт, 1975.
2. Тоннели и метрополитены. Методические указания по использованию ЭВМ при курсовом и дипломном проектировании для студентов специальности "Мосты и тоннели". М., ВЗИИТ, 1979.
3. Вопросы математического моделирования, расчета и повышения надежности тоннельных сооружений. Сб. науч. трудов под ред. В.А.Гарбера, вып. № III . М., Транспорт, 1981.

## СОДЕРЖАНИЕ

ПРЕДСЛОВИЕ .....	3
1. ОБЩИЕ ПОЛОЖЕНИЯ .....	4
2. КЛАССИФИКАЦИЯ МЕТОДИК РАСЧЕТА НА ОСНОВЕ ЗАЛОЖЕННЫХ В НИХ ПРЕДПОСЫЛКОК .....	5
3. КЛАССИФИКАЦИЯ ПОДЗЕМНЫХ СООРУЖЕНИЙ ПО УСЛОВИЯМ ИХ РАБОТЫ .....	7
4. РЕЗУЛЬТАТЫ СРАВНИТЕЛЬНЫХ РАСЧЕТОВ ПОДЗЕМНЫХ КОНСТРУКЦИЙ ПО РАЗЛИЧНЫМ ПРОГРАММАМ .....	9
5. РЕКОМЕНДАЦИИ ПО ПРИМЕНЕНИЮ ПРОГРАММНОГО ОБЕСПЕЧЕНИЯ ДЛЯ РАСЧЕТА ОБДЕЛОК ПОДЗЕМНЫХ ТРАНСПОРТНЫХ СООРУЖЕНИЙ .....	13
ПРИЛОЖЕНИЕ. Применение метода ЦНИИС для расче- та подземных конструкций на ЕС ЭВМ .....	16
СПИСОК ЛИТЕРАТУРЫ .....	52